

Referências Bibliográficas

Abell, M. L.; Braselton, J. P. **Differential Equations with Maple V**. Ap Professional Academic Press Limited, Cambridge, Massachusetts, USA, 1994.

American Concrete Institute Committee 318, “**Building Code Requirements for Structural Concrete (ACI 318-02) and Commentary (318R-02)**”, American Concrete Institute, Farmington Hills, Mich., 2002.

Aktan, A. E.; Karlsson, B. I.; Sozen, M. A. **Stress-Strain Relationships of Reinforced Concrete Bars Subjected to Large Strain Reversals**. Civil Engineering Studies, Structural Research Series N^o 397, University Illinois, Urbana, 1973.

Andrade, E. Q. **Instabilidade e Vibrações de Colunas Esbeltas sobre Base Elástica**. Dissertação de Mestrado, Departamento de Engenharia Civil, PUC/Rio, 1993.

Bazant, Z. P.; Cedolin, L. **Stability of Structures – Elastic, Inelastic, Fracture, and Damage theories**. Oxford University Press, New York, 1991.

Bresler, B.; Gilbert, P. H. **Tie Requirements for Reinforced Concrete Columns**. ACI Journal. Vol. 58, No. 5, p. 555-570, 1961.

Claeson, C. **Behavior of Reinforced High Strength Concrete Columns**. Chalmers University of Technology, 1995.

CEB 1995. **Comite Euro-Internacional du Beton**, CEB-FIP Model Code 1995.

Char, B. W.; Geddes, K. O.; Connet, G. H.; Leong, B. L.; Monagan, M. B.; Wett, S. M. **A Tutorial Introduction to Maple V** . Springer-Verlag, 1992.

Chen, W. F.; Atsuta, T. **Theory of Beam-Columns**. McGraw-Hill, First Edition, Vol. 1, Singapore, 1975.

Cusson, D.; Paultre, P. **High-Strength Concrete Columns Confined by Retangular Ties**. Journal of Structural Engineering. Vol. 120, N^o 3, p. 783-804, 1994.

Cusson, D.; Paultre, P. **Stress-Strain Model for Confined High-Strength Concrete**. Journal of Structural Engineering. Vol. 121, N^o 3, p. 468-477, 1995.

Dym, C. L.; Shames, I. H. **Solid Mechanics - A Variational Approach** . McGraw-Hill-Kogakusha, Ltd . Tokyo, 1973.

EUROCODE 2. **Design of Concrete Structures: General Rules and Rules for Buldings**, 2001.

Fusco, P. B. **Estruturas de Concreto**. Editora Guanabara dois S. A., Rio de Janeiro, 1986.

Guimarães, G. B. **Comportamento e Projeto de Estruturas de Concreto Armado**. Notas de aula, PUC/Rio, 1995.

Gonçalves, P. B. **Instabilidade Elástica de Colunas**. Notas de aula, PUC/Rio, 1994.

Hetényi, M. **Beams on Elastic Foundation**. The University of Michigan Press, Ann Arbor, 1946.

James, F. P. **Influence of Ties on the Behavior of Reinforced Concrete Columns**. Journal of the American Concrete Institute. Proceedings Vol. 61, No. 5, p. 521-537, 1964.

Kaar, P. H.; Corley, W. G. **Properties of Confined Concrete for design of Earthquake Resistant Structures**. Proc. 6th World Conf. on Earthquake Engrg. Indian Society of Earthquake, 1977.

Keidel, C. **Pilares em Estruturas Indeslocáveis - Comparação entre Normas** . Projeto Final de Curso, EEUFRJ, Rio de Janeiro, 2000.

King, J. W. H. **The Effect of Lateral Reinforcement in Reinforced Concrete Columns** . The Structural Engineer, Vol. 24, Jul. p. 355-388, 1946.

King, J. W. H. **Further Notes on Reinforcement Concrete Columns**. The Structural Engineer, Vol. 24, Nov. p. 609-616, 1946.

Leonhardt, F.; Mönning, E. **Construções de Concreto**. Livraria Interciência, Vol. 1, Primeira Edição, Rio de Janeiro, 1977.

Leonhardt, F.; Mönning, E. **Construções de Concreto**. Livraria Interciência, Vol. 3, Primeira Edição, Rio de Janeiro, 1978.

Macgregor, J. G. **Reinforced Concrete**. Prentice Hall, Third Edition, New Jersey, 1997.

Mander, J. B.; Priestley, M. J. N.; Park R. **Seismic Design of Bridge Piers**. Report 84-2, Departament of Civil Engineering, University of Canterbury, Christchurch, Nueva Zelanda, 1984.

Mander, J. B.; Priestley, M. J. N.; Park R. **Observed Stress-Strain Behavior of Confined Concrete**. Journal Structural Engenner, ASCE, Vol. 114, No. 8, p. 1827-1849, 1988^a.

Mander, J. B.; Priestley, M. J. N.; and Park R. **Theoretical Stress-Strain Model for Confined Concrete**. Journal Structural Engenner, ASCE, Vol. 114, No. 8, p. 1804-1826, 1988b.

Mau, S. T.; EL-Mabsout, M. **Inelastic Buckling of Reinforcing Bars**. Journal of Engineering Mechanics, Vol. 115, No. 1, p. 1-17, 1989.

Mau, S. T. **Effect of Tie Spacing on Inelastic Buckling of Reinforcing Bars**. Structural Journal, Vol. 87, No. 6, ACI, p. 671-677, 1990.

Moehle, J. P.; Cavanagh, T. **Confinement Effectiveness of Crossties in RC**. Journal of Structural Engineering, Vol. 111, N^o 10, p. 2105-2120, 1985.

Monti, G.; Nuti, C. **Nonlinear Cyclic Behavior of Reinforcing Bars Including Buckling**. Journal of Structural Engineering, Vol. 118, No. 12, p. 3268-3284, 1992.

NBR-6118. **Projeto e execução de obras de concreto armado**. 1978.

NBR-6118. **Projeto e execução de obras de concreto armado**. 2003.

Pantazopoulou, S. J. **Detailing for Reinforcement Stability in RC Members**. Journal of Structural Engineering, Vol. 124, N^o 6, ASCE, p. 623-632, 1998.

Papia, M.; Russo, G.; Zingone, G. **Instability of Longitudinal Bars in RC Members**. Journal of Structural Engineering, Vol. 114, N^o 2, p. 445-461, 1988.

Papia, M.; Russo, G. **Compressive Concrete Strain at Buckling of Longitudinal Reinforcement**. Journal of Structural Engineering, Vol. 115, No. 2, p. 382- 397, 1989.

Park, R.; Paulay, T. **Reinforced Concrete Structures**. John Wiley & Sons, New York, 1975.

Pfister, J. F. **Influence of Ties on the Behavior of Reinforced Concrete Columns**. Journal of the American Concrete Institute, Vol. 61, No. 5, p. 521-536, 1964.

Queiroga, M. V. M. **Análise Experimental de Pilares de Concreto de Alto Desempenho Submetidos à Compressão Simples**. Dissertação de Mestrado apresentada à Escola de Engenharia de São Carlos, EESC – USP, 1999.

Queiroga, M. V. M.; Giongo, J. S. **Resistência e Ductilidade de Modelos de Pilares de Concreto de Alta Resistência Submetidas à Compressão Simples**. IV Simpósio EPUSP sobre Estruturas de Concreto, SP, 2000.

Razvi, S.; Saatcioglu, M. **Strength and Deformability of Confined High-Strength Concrete Columns**. ACI Structural Journal, Vol. 91, Nº 6, p. 678-687, 1994.

Razvi, S.; Saatcioglu, M. **Confinement Model for Normal Strength and High Strength Concrete Columns**. Res. Rep., Ottawa - Carleton Earthquake Engrg. Res. Ctr., Dept. of Civ. Engrg., Univ. of Ottawa, Canada, 1995.

Razvi, S.; Saatcioglu, M. **Confinement Model for High-Strength Concrete**. Journal of Structural Engineering, mar. , p. 281-289, 1999.

Rosas, R. **Instabilidade das Estruturas – Notas de Aula**. Pontifícia Universidade Católica do Rio de Janeiro, Rio de Janeiro, 2000.

Saatcioglu, M.; Razvi, S. R. **Strength and Ductility of Confined Concrete**. Journal of Structural Engineering, Vol. 118, No. 6, pp. 1590-1607, 1992.

Salmon, C. G. ; Johnson, J. E. **Steel Structures: Design and Behavior**, Haper Collins, 3a ed, EUA, 1990.

Scribner, C. F. **Reinforcement Buckling in Reinforced Concrete Flexural Members**. ACI Journal, Vol. 83, No. 6, pp. 966-973, 1986.

Scott, B. D. **Stress-Strain Relationships for Confined Concrete: Retangular Sections**. Res. Rep. N^o 80-6, Dept. of Civ. Engrg., Univ. of Canterbury, Christchurch, New Zealand, 1980.

Scott, B. D.; Park, R.; Priestley, J. N. **Stress-Strain Behavior of Concrete Confined by Overlapping Hoops at Low and High Strain Rates** . ACI Journal, Vol. 79, No. 2, pp. 13-27, 1982.

Sheikh, S. A.; Toklucu, M. T. **Reinforced Concrete Columns Confined by Circular Spirals and Hoops**. ACI Structural Journal, Vol. 90, N^o 5, p. 542-553, 1993.

Sheikh, S. A.; Uzumeri, S. M. **Strength and Ductility of Tied Concrete Columns**. Journal of Structural Division, Vol. 106, N^o ST5, ASCE, pp. 1079-1102, 1980.

Sheikh, S. A.; Uzumeri, S. M. **Analytical Model for Concrete Confinement in Tied Columns** . Journal of Structural Division, Vol. 108, N^o 12, ASCE, pp. 2703-2722, 1980.

Sheikh, S. A. ; Yeh, C. C. ; Khoury, S. **Concrete Strength in Tied Columns**. ACI Structural Journal, Vol. 87 N^o 4, p. 379-385, 1990.

Simitses, G. J. **An Introduction to the Elastic Stability of Structures**. Robert E. Krieger Company Malabar, Second Edition, Florida, 1986.

Süssekind, J. C. **Curso de Concreto** . Editora Globo, Vol. I, Primeira Edição, Rio de Janeiro, RJ, Porto Alegre, RS, 1980.

Süssekind, J. C. **Curso de Concreto** . Editora Globo, Vol. II, Rio de Janeiro, RJ, Porto Alegre, RS, 1984.

Timoshenko, S. P.; Gere, J. M. **Theory of Elastic Stability**. McGraw-Hill, Second Edition, Singapore, 1961.

Vallenas, J.; Bertero, V. V.; Popov, E. P. **Concrete Confined by Retangular Hoops and Subjected to Axial Loads**. Report No. UCB/EERC-77/13, Earthquake Engineering Research Center, University of California, Berkeley – Ca, 1977.

Watson, S.; Zahn, F. A.; Park, R. **Confining Reinforcement for Concrete Columns** . Journal of Structural Engineering, Vol. 120, No. 6, pp. 1798-1824, 1994.

Zahn, F. A. **Design of Reinforced Concrete Bridge Columns for Strength and Ductility**. Res. Rep. N^o 86-7, Dept. of Civ. Engrg., Univ. of Canterbury, Christchurch, New Zealand, 1986.

8

Apêndice

8.1.

Introdução

Neste apêndice apresentam-se os programas para o cálculo das matrizes de rigidez, o cálculo dos autovalores e o método utilizado para o cálculo dos caminhos pós-críticos a partir das equações não-lineares de equilíbrio.

Apresentam-se também todos os cálculos referentes aos exemplos apresentados no Capítulo 5.

8.2.

Programas

Programa I.1 - Cálculo das matrizes de rigidez da coluna, dos autovalores para o caso linear e equações não-lineares de equilíbrio considerando-se o campo de deslocamentos (3.29) - Apoios Discretos.

```
> restart:with(linalg):with(plots):with(LinearAlgebra):
```

Váriáveis do Programa

```
> # N - Número de termos considerados na expansão modal ( número de graus de liberdade)
```

```
> # wt - Campo de deslocamentos
```

```
> # a||i - Amplitude do deslocamento - Para o cálculo dos autovalores esse termo é tirado da expressão do campo de deslocamentos e executa-se o programa normalmente.
```

```
> # m - Número de apoios laterais
```

```
> wt:=0:N:=15:
```

```
> for i from 1 by 1 to N do
```

```
> wt||i(xi):=a||i*(-i*Pi*xi+i*Pi*(2+(-1)^i)*xi^2-i*Pi*(1+(-1)^i)*xi**3+sin(i*Pi*xi)):
```

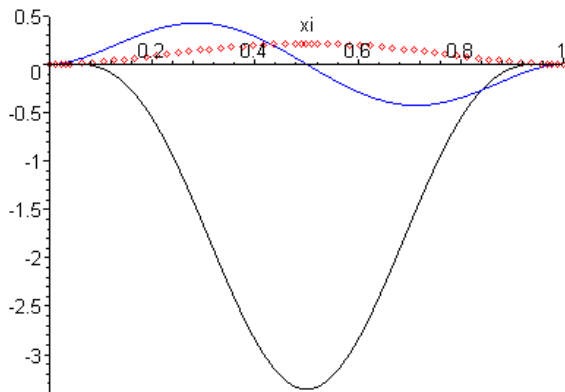
```
> dwt||i(xi):=diff(wt||i(xi),xi):ddwt||i(xi):=diff(wt||i(xi),xi$2):
```

```
> wt:=wt+wt||i(xi):
```

```
> end do:
```


Gráfico das Funções para $N=1, 2$ e 3

```
>plot([wt1(xi),wt2(xi),wt3(xi),wt(xi)],xi=0..1,color=[red,blue,black,green],
style=[point,line,line,line]);
```



Integração ao Longo da Barra para Obtenção das Matrizes de Rigidez Elástica e Rigidez Geométrica

As matrizes de rigidez elástica K (no caso representada por K_f , para lembrar a energia de flexão), rigidez geométrica (das tensões) K_g , podem ser obtidas respectivamente, das energias de deformação e das tensões para a carga de direção constante= trabalho das cargas V_3 .

A variação do array é de acordo com o número de graus de liberdade considerados.

```
>KGt:=array(1..N,1..N):KGtn:=array(1..N,1..N):KFt:=array(1..N,1..N):KFtn:=array(1..N,1..N):Mt:=array(1..N,1..N):
```

```
> for i from 1 by 1 to N do
```

```
>   for j from 1 by 1 to N do
```

```
>     #Energia da Força axial
```

```
>     KGt[i,j]:=int(1/2*dwt||i(xi)*dwt||j(xi),xi=0..1); #Parcela quadrática
```

```
>     KGtn[i,j]:=int(1/8*dwt||i(xi)*dwt||j(xi)*dwt||i(xi)*dwt||j(xi),xi=0..1);
```

```
>     #Energia de Flexão
```

```
>     KFt[i,j]:=int(1/2*ddwt||i(xi)*ddwt||j(xi),xi=0..1); #Parcela Quadrática
```

```
>
```

```
         KFtn[i,j]:=int(1/2*ddwt||i(xi)*ddwt||j(xi)*dwt||i(xi)*dwt||j(xi)+1/8*ddwt||i(xi)*ddwt||j(xi)*dwt||i(xi)*dwt||j(xi),xi=0..1):
```

```
>   od:
```

```
> od:
```

Cálculo da energia de deformação dos estribos, autovalores e equações não-lineares de equilíbrio

```

> for Nmolos from 1 by 1 to 5 do
>   KFtm||Nmolos:=array(1..N,1..N):
>   for i from 1 by 1 to N do
>     for j from 1 by 1 to N do
>       KFtm||Nmolos[i,j]:=0;
>     od:
>   od:
>   for m from 1 to Nmolos do
>     xm||m:=1/(Nmolos+1)*m;
>     for i from 1 by 1 to N do
>       for j from 1 by 1 to N do
>
>         KFtm||Nmolos[i,j]:=KFtm||Nmolos[i,j]+eta*1/2*subs(xi=xm||m,wt||i(xi))*subs(xi
>         =xm||m,wt||j(xi));
>       od:
>     od:
>   od:
>   #Parcela quadrática do funcional
>   KFtQ||Nmolos:=evalm(KFt+KFtm||Nmolos);
>   A||Nmolos:=multiply(inverse(KGt),KFtQ||Nmolos);
>   Gamma||Nmolos:=eigenvals(A||Nmolos);
>   Autov||Nmolos:=[eigenvectors(A||Nmolos)];
>   KGtNL:=evalm(KGt+KGtn);
>   KFt2||Nmolos:=evalm(KFtQ||Nmolos+KFtn):
>   EPT||Nmolos:=evalm(KFt2||Nmolos-Gamma*KGtNL);
>   #Equações não-lineares de Equilíbrio
>   for f from 1 to N do
>     EqL||Nmolos||f:=0;
>   od:
>   for g from 1 to N do
>     for h from 1 to N do
>       EqL||Nmolos||g:=EqL||Nmolos||g+diff(EPT||Nmolos[g,h],a||g);
>     od:

```

> od:

> od:

Programa I.2 - Cálculo das matrizes de rigidez da coluna, dos autovalores para o caso linear e das equações não-lineares de equilíbrio considerando-se o campo de deslocamentos (3.28) e apoios Discretos

> restart:with(linalg):with(plots):with(LinearAlgebra):

> wt:=0:N:=15:

> for i from 1 by 1 to N do

> wt[i](xi):=1/2*a[i]*(1-cos(2*Pi*i*xi)):

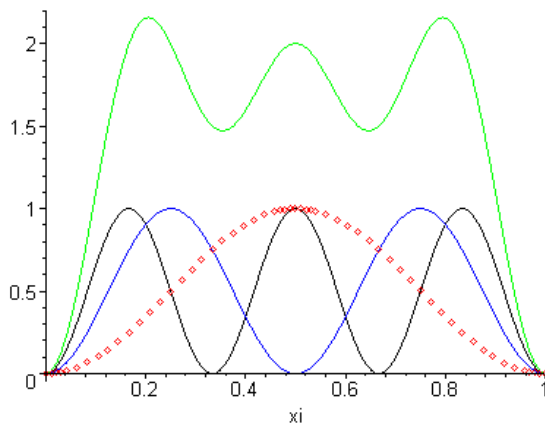
> dwt[i](xi):=diff(wt[i](xi),xi):ddwt[i](xi):=diff(wt[i](xi),xi\$2):

> wt:=wt+wt[i](xi):

> end do:

Gráficos das Funções para N=1, 2 e 3

>plot([wt1(xi),wt2(xi),wt3(xi),wt(xi)],xi=0..1,color=[red,blue,black,green],
style=[point,line,line,line]);



A partir deste ponto, o trecho do programa para o cálculo das matrizes de rigidez, dos autovalores e das equações não-lineares de equilíbrio é o mesmo do Programa I.1.

Programa I.3 - Cálculo das matrizes de rigidez da coluna sobre base elástica, dos autovalores para o caso linear e das equações não-lineares de equilíbrio considerando-se o campo de deslocamentos (3.28).

```
> restart:with(linalg):with(plots):with(LinearAlgebra):
> wt:=0:N:=6:
> for i from 1 by 1 to N do
>   wt||i(xi):=1/2*a||i*(1-cos(2*Pi*i*xi)):
>   dwt||i(xi):=diff(wt||i(xi),xi):ddwt||i(xi):=diff(wt||i(xi),xi$2):
>   wt:=wt+wt||i(xi):
> end do:
```

Integração ao Longo da Barra para Obtenção das Matrizes de Rigidez Elástica e Rigidez Geométrica

```
> N:=1:
KGt:=array(1..N,1..N):KGtn:=array(1..N,1..N):KFt:=array(1..N,1..N):KFtn:=array(1..N,1..N)
:Mt:=array(1..N,1..N):
> for i from 1 by 1 to N do
>   for j from 1 by 1 to N do
>     # Energia da Força Axial
>     KGt[i,j]:=int(1/2*dwt||i(xi)*dwt||j(xi),xi=0..1); # Parcela Quadrática
>     KGtn[i,j]:=int(1/8*dwt||i(xi)*dwt||j(xi)*dwt||i(xi)*dwt||j(xi),xi=0..1); #Parcela Não-
      Linear
>     #Energia de Flexão
>     KFt[i,j]:=int(1/2*ddwt||i(xi)*ddwt||j(xi),xi=0..1); # Parcela Quadrática
>
      KFtn[i,j]:=int(1/2*ddwt||i(xi)*ddwt||j(xi)*dwt||i(xi)*dwt||j(xi)+1/8*ddwt||i(xi)*dd
      wt||j(xi)*dwt||i(xi)*dwt||j(xi)*dwt||i(xi)*dwt||j(xi),xi=0..1); #Parcela Não-Linear
>   od:
> od:
Inclusão da base elástica
> KFtm:=array(1..N,1..N):
> for i from 1 by 1 to N do
>   for j from 1 by 1 to N do
>     KFtm[i,j]:=int(eta*1/2*subs(L=1,wt||i(xi))*subs(L=1,wt||j(xi)),xi=0..1):
>   od:
> od:
> print(KFtm):
```

```

> KFtQ:=evalm(KFt+KFtm):
> A:=multiply(inverse(KGt),KFtQ);
> Gamma:=eigenvals(A);
> Autov:=eigenvectors(A):
> KGtNL:=evalm(KGt+KGtn):
> KFt2:=evalm(KFtQ+KFtn):
> EPT:=evalm(KFt2-lambda*KGtNL):
> #Equações não-lineares de Equilíbrio
> for f from 1 to N do
>   EqL|f:=0;
> od:
> for g from 1 to N do
>   for h from 1 to N do
>     EqL|g:=EqL|g+diff(EPT[g,h],a|g):
>   od:
> od:

```

Programa I.4 - Cálculo das matrizes de rigidez da coluna sobre base elástica, dos autovalores para o caso linear e das equações não-lineares de equilíbrio considerando-se para o campo de deslocamentos uma combinação de funções simétricas e antissimétricas.

```

> restart:with(linalg):with(plots):with(LinearAlgebra):
> wt:=0:N:=6:
> for i from 1 by 1 to N do
>   wt|i(xi):=a|i*(-i*Pi*xi+i*Pi*(2+(-1)^i)*xi^2-i*Pi*(1+(-1)^i)*xi**3+sin(i*Pi*xi)):
>   dwt|i(xi):=diff(wt|i(xi),xi):ddwt|i(xi):=diff(wt|i(xi),xi$2):
>   wt:=wt+wt|i(xi):
> end do:

```

A partir deste ponto, o trecho do programa para o cálculo das matrizes de rigidez, dos autovalores e das equações não-lineares de equilíbrio é o mesmo do Programa I.3.

Programa I.5 - Cálculo das matrizes de rigidez da coluna sobre base elástica, dos autovalores para o caso linear e das equações não-lineares de equilíbrio considerando-se uma imperfeição geométrica inicial para o campo de deslocamentos uma combinação de funções simétricas e antissimétricas, campo de deslocamentos (3.29).

```
> restart:with(linalg): with(plots):
```

```
> wt:=0:N:=3:
```

```
> for i from 1 by 1 to N do
```

```
>   wt||i(xi):=a||i*(-i*Pi*xi+i*Pi*(2+(-1)^i)*xi^2-i*Pi*(1+(-1)^i)*xi**3+sin(i*Pi*xi)):
```

```
>   dwt||i(xi):=diff(wt||i(xi),xi):ddwt||i(xi):=diff(wt||i(xi),xi$2):
```

```
>   wto||i(xi):=ao||i*(-i*Pi*xi+i*Pi*(2+(-1)^i)*xi^2-i*Pi*(1+(-1)^i)*xi**3+sin(i*Pi*xi)):
```

```
>   dwto||i(xi):=diff(wto||i(xi),xi):ddwto||i(xi):=diff(wto||i(xi),xi$2):
```

```
>   wt:=wt+wt||i(xi)+wto||i(xi):
```

```
> end do:
```

Integração ao Longo da Barra para Obtenção das Matrizes de Rigidez Elástica e Rigidez Geométrica

```
KGt:=array(1..N,1..N):KGtn:=array(1..N,1..N):KFT:=array(1..N,1..N):KFTn:=array(1..N,1..N)
:Mt:=array(1..N,1..N):
```

```
> for i from 1 by 1 to N do
```

```
>   for j from 1 by 1 to N do
```

```
>     #Energia da Força Axial
```

```
>     KGt[i,j]:=int(1/2*dwt||i(xi)*dwt||j(xi)+dwt||i(xi)*dwto||j(xi),xi=0..1); # Parcela Quadrática
```

```
>
```

```
   KGtn[i,j]:=int(1/8*dwt||i(xi)*dwt||j(xi)*dwt||i(xi)*dwt||j(xi)+1/2*dwt||i(xi)*dwt||j(xi)*dwt||i(xi)*dwto||j
   (xi)+3/4*dwt||i(xi)*dwt||j(xi)*dwto||i(xi)*dwto||j(xi)+1/2*dwt||i(xi)*dwto||j(xi)*dwto||i(xi)*dwto||j(xi)
   ,xi=0..1); #Parcela Não-Linear
```

```
>     #Energia de Flexão
```

```
>     KFT[i,j]:=int(1/2*ddwt||i(xi)*ddwt||j(xi),xi=0..1); # Parcela Quadrática
```

```
>
```

```
   KFTn[i,j]:=int(1/2*(ddwt||i(xi)*ddwt||j(xi)*dwt||i(xi)*dwt||j(xi)+1/4*ddwt||i(xi)*ddwt||j(xi)*
   dwt||i(xi)*dwt||j(xi)*dwt||i(xi)*dwt||j(xi)+dwto||i(xi)*dwto||j(xi)*ddwt||i(xi)*ddwt||j(xi)+1/4
   *dwto||i(xi)*dwto||j(xi)*dwto||i(xi)*dwto||j(xi)*ddwt||i(xi)*ddwt||j(xi)+1/4*dwt||i(xi)*dwt||j
   (xi)*dwt||i(xi)*dwt||j(xi)*ddwto||i(xi)*ddwto||j(xi)+dwt||i(xi)*dwt||j(xi)*dwt||i(xi)*ddwt||j(xi)
   )*ddwt||i(xi)*dwto||j(xi)+dwt||i(xi)*dwt||j(xi)*dwt||i(xi)*ddwto||j(xi)*ddwto||i(xi)*dwto||j(xi)
   )+2*dwt||i(xi)*ddwt||j(xi)*ddwt||i(xi)*dwto||j(xi)+dwt||i(xi)*dwto||j(xi)*dwto||i(xi)*dwto||j(
   xi)*ddwt||i(xi)*ddwt||j(xi)+3/2*dwt||i(xi)*dwt||j(xi)*ddwt||i(xi)*ddwt||j(xi)*dwto||i(xi)*dwto
   ||j(xi)+1/2*dwt||i(xi)*dwt||j(xi)*dwt||i(xi)*dwt||j(xi)*ddwt||i(xi)*ddwto||j(xi)+dwt||i(xi)*dwt
```

```

|j(xi)*dwto||i(xi)*dwto||j(xi)*ddwto||i(xi)*ddwto||j(xi)+ddwt||i(xi)*dwt||j(xi)*dwt||i(xi)*ddw
to||j(xi)+2*dwt||i(x)*dwt||j(xi)*dwt||i(xi)*ddwt||j(xi)*dwt||i(xi)*ddwto||j(xi)+2*ddwt||i(xi)*
dwt||j(xi)*dwt||i(xi)*ddwto||j(xi)+5/2*dwt||i(xi)*dwt||j(xi)*ddwt||i(xi)*dwt||j(xi)*dwt||i(
xi)*ddwto||j(xi)+dwt||i(xi)*dwt||j(xi)*dwt||i(xi)*dwt||j(xi)*ddwt||i(xi)*ddwto||j(xi)),xi=0
..1); #Parcela Não-Linear

```

```
> od:
```

```
> od:
```

```
Inclusão da base elástica
```

```
> KFtm:=array(1..N,1..N):
```

```
> for i from 1 by 1 to N do
```

```
>   for j from 1 by 1 to N do
```

```
>
```

```

    KFtm[i,j]:=int(1/2*eta*(wt||i(xi)*wt||j(xi)+2*wto||i(xi)*wt||j(xi)+wto||i(xi)*wto||j(xi)),xi=0
    ..1);

```

```
> od:
```

```
> od:
```

```
> print(KFtm);
```

```
> KFtQ:=evalm(KFt+KFtm):
```

```
> A:=multiply(inverse(KGt),KFtQ):
```

```
> #Gamma:=eigenvals(A):
```

```
> #Autov:=eigenvectors(A):
```

```
> KGtNL:=evalm(KGt+KGtn):
```

```
> KFt2:=evalm(KFtQ+KFtn):
```

```
> EPT:=evalm(KFt2-lambda*KGtNL):
```

```
> #Equações de Equilíbrio
```

```
> for f from 1 to N do
```

```
>   EqL||f:=0;
```

```
> od:
```

```
> for g from 1 to N do
```

```
>   for h from 1 to N do
```

```
>     EqL||g:=EqL||g+diff(EPT[g,h],a||g):
```

```
>   od:
```

```
> od:
```

Programa I.6- Para se considerar apenas funções simétricas no programa 1.5, basta alterar o trecho correspondente ao campo de deslocamentos como a seguir.

```
> restart:with(linalg):with(plots):with(LinearAlgebra):
> wt:=0:N:=3;
> for i from 1 by 1 to N do
>   wt||i(xi):=1/2*(1-cos(2*Pi*i*xi)):wto||i(xi):=1/2*(1-cos(2*Pi*i*xi)):
>   dwt||i(xi):=diff(wt||i(xi),xi):ddwt||i(xi):=diff(wt||i(xi),xi$2):
>   dwto||i(xi):=diff(wto||i(xi),xi):ddwto||i(xi):=diff(wto||i(xi),xi$2):
>   wt:=wt+wt||i(xi)+wto||i(xi):
> end do:
```

Programa I.7- Para considerar-se o caso de emendas das barras da armadura, considerou-se um modelo, onde a coluna é engastada e livre. Assim, calcula-se a matriz A para o cálculo dos pontos (Γ, η) e assim através da solução do problema de autovalores pode-se conhecer estes pontos.

```
> restart:with(linalg):with(plots):with(LinearAlgebra):
> wt:=0:N:=6:
> for i from 1 by 1 to N do
>   wt||i(xi):=(1-cos((2*i-1)*Pi*xi/2)):
>   dwt||i(xi):=diff(wt||i(xi),xi):ddwt||i(xi):=diff(wt||i(xi),xi$2):
>   wt:=wt+wt||i(xi):
> end do:
```

Integração ao Longo da Barra para Obtenção das Matrizes de Rigidez Elástica e Rigidez Geométrica

```
>KGt:=array(1..N,1..N):KGtn:=array(1..N,1..N):KFt:=array(1..N,1..N):KFtn:=array(1..N,1..N):Mt:=array(1..N,1..N):
> for i from 1 by 1 to N do
>   for j from 1 by 1 to N do
>     # Energia da Força Axial
>     KGt[i,j]:=int(1/2*dwt||i(xi)*dwt||j(xi),xi=0..1); # Parcela Quadrática
>     KGtn[i,j]:=int(1/8*dwt||i(xi)*dwt||j(xi)*dwt||i(xi)*dwt||j(xi),xi=0..1); #Parcela Não-Linear
>     #Energia de Flexão
>     KFt[i,j]:=int(1/2*ddwt||i(xi)*ddwt||j(xi),xi=0..1); # Parcela Quadrática
>
>     KFtn[i,j]:=int(1/2*ddwt||i(xi)*ddwt||j(xi)*dwt||i(xi)*dwt||j(xi)+1/8*ddwt||i(xi)*ddwt||j(xi)*dwt||i(xi)*dwt||j(xi)*dwt||i(xi)*dwt||j(xi),xi=0..1); #Parcela Não-Linear
>   od:
> od:
```


Inclusão da Base elástica (apoios laterais distribuídos de forma contínua)

```

> KFtm:=array(1..N,1..N):
> for i from 1 by 1 to N do
>   for j from 1 by 1 to N do
>     KFtm[i,j]:=int(eta*1/2*wt||i(xi)*wt||j(xi),xi=0..1):
>   od:
> od:
> KFtQ:=evalm(KFt+KFtm):
> A:=multiply(inverse(KGt),KFtQ);
    
```

Considerando-se seis modos na expansão modal, chega-se a seguinte matriz característica para o cálculo dos autovalores.

$$A := \begin{bmatrix}
 \frac{16 \left(\frac{\pi^4}{64} + \frac{\eta(3\pi-8)}{4\pi} \right)}{\pi^2}, & \frac{8(-4+3\pi)\eta}{3\pi^3}, & \frac{8(-12+5\pi)\eta}{5\pi^3}, & \frac{8(-12+7\pi)\eta}{7\pi^3}, & \frac{8(-20+9\pi)\eta}{9\pi^3}, & \frac{8(-20+11\pi)\eta}{11\pi^3} \\
 \frac{8(-4+3\pi)\eta}{27\pi^3}, & \frac{16 \left(\frac{81\pi^4}{64} + \frac{\eta(9\pi+8)}{12\pi} \right)}{9\pi^2}, & \frac{8(4+15\pi)\eta}{135\pi^3}, & \frac{8(20+21\pi)\eta}{189\pi^3}, & \frac{8(4+9\pi)\eta}{81\pi^3}, & \frac{8(28+33\pi)\eta}{297\pi^3} \\
 \frac{8(-12+5\pi)\eta}{125\pi^3}, & \frac{8(4+15\pi)\eta}{375\pi^3}, & \frac{16 \left(\frac{625\pi^4}{64} + \frac{\eta(15\pi-8)}{20\pi} \right)}{25\pi^2}, & \frac{8(-4+35\pi)\eta}{875\pi^3}, & \frac{8(-28+45\pi)\eta}{1125\pi^3}, & \frac{8(-12+55\pi)\eta}{1375\pi^3} \\
 \frac{8(-12+7\pi)\eta}{343\pi^3}, & \frac{8(20+21\pi)\eta}{1029\pi^3}, & \frac{8(-4+35\pi)\eta}{1715\pi^3}, & \frac{16 \left(\frac{2401\pi^4}{64} + \frac{\eta(21\pi+8)}{28\pi} \right)}{49\pi^2}, & \frac{8(4+63\pi)\eta}{3087\pi^3}, & \frac{8(36+77\pi)\eta}{3773\pi^3} \\
 \frac{8(-20+9\pi)\eta}{729\pi^3}, & \frac{8(4+9\pi)\eta}{729\pi^3}, & \frac{8(-28+45\pi)\eta}{3645\pi^3}, & \frac{8(4+63\pi)\eta}{5103\pi^3}, & \frac{16 \left(\frac{6561\pi^4}{64} + \frac{\eta(27\pi-8)}{36\pi} \right)}{81\pi^2}, & \frac{8(-4+99\pi)\eta}{8019\pi^3} \\
 \frac{8(-20+11\pi)\eta}{1331\pi^3}, & \frac{8(28+33\pi)\eta}{3993\pi^3}, & \frac{8(-12+55\pi)\eta}{6655\pi^3}, & \frac{8(36+77\pi)\eta}{9317\pi^3}, & \frac{8(-4+99\pi)\eta}{11979\pi^3}, & \frac{16 \left(\frac{14641\pi^4}{64} + \frac{\eta(33\pi+8)}{44\pi} \right)}{121\pi^2}
 \end{bmatrix}$$

A partir da obtenção da matriz A , pode-se gerar os pontos $(\Gamma \times \eta)$ a partir da seguinte subrotina:

```
> restart:with(linalg):with(plots):with(codegen,fortran):
> A := matrix([[16/Pi^2*(1/64*Pi^4+1/4*eta*(3*Pi-8)/Pi), 8/3/Pi^3*(-4+3*Pi)*eta, 8/5/Pi^3*(-
12+5*Pi)*eta, 8/7/Pi^3*(-12+7*Pi)*eta, 8/9/Pi^3*(-20+9*Pi)*eta, 8/11/Pi^3*(-
20+11*Pi)*eta], [8/27/Pi^3*(-4+3*Pi)*eta, 16/9/Pi^2*(81/64*Pi^4+1/12*eta*(9*Pi+8)/Pi),
8/135/Pi^3*(4+15*Pi)*eta, 8/189/Pi^3*(20+21*Pi)*eta, 8/81/Pi^3*(4+9*Pi)*eta,
8/297/Pi^3*(28+33*Pi)*eta], [8/125/Pi^3*(-12+5*Pi)*eta, 8/375/Pi^3*(4+15*Pi)*eta,
16/25/Pi^2*(625/64*Pi^4+1/20*eta*(15*Pi-8)/Pi), 8/875/Pi^3*(-4+35*Pi)*eta,
8/1125/Pi^3*(-28+45*Pi)*eta, 8/1375/Pi^3*(-12+55*Pi)*eta], [8/343/Pi^3*(-12+7*Pi)*eta,
8/1029/Pi^3*(20+21*Pi)*eta, 8/1715/Pi^3*(-4+35*Pi)*eta,
16/49/Pi^2*(2401/64*Pi^4+1/28*eta*(21*Pi+8)/Pi), 8/3087/Pi^3*(4+63*Pi)*eta,
8/3773/Pi^3*(36+77*Pi)*eta], [8/729/Pi^3*(-20+9*Pi)*eta, 8/729/Pi^3*(4+9*Pi)*eta,
8/3645/Pi^3*(-28+45*Pi)*eta, 8/5103/Pi^3*(4+63*Pi)*eta,
16/81/Pi^2*(6561/64*Pi^4+1/36*eta*(27*Pi-8)/Pi), 8/8019/Pi^3*(-4+99*Pi)*eta],
[8/1331/Pi^3*(-20+11*Pi)*eta, 8/3993/Pi^3*(28+33*Pi)*eta, 8/6655/Pi^3*(-12+55*Pi)*eta,
8/9317/Pi^3*(36+77*Pi)*eta, 8/11979/Pi^3*(-4+99*Pi)*eta,
16/121/Pi^2*(14641/64*Pi^4+1/44*eta*(33*Pi+8)/Pi)]]);
> for i from 0 by 1 to 600000 do
>   b:=subs(eta=i,evalm(A));
>   Gamma||i:=evalf(Eigenvals(b));
> od:
> arq:=`c:\salet\tesedocto\resultados\casocont\lemenda.dat`:
> fd:=fopen(arq,APPEND):
> for i from 0 by 1 to 600000 do
>
>   fprintf(arq,"%d,%.10f,%.10f,%.10f,%.10f,%.10f,%.10f",i,Gamma||i[1],Gamma||i[2],Ga
mma||i[3],Gamma||i[4],Gamma||i[5],Gamma||i[6]):
>   fprintf(arq,`\n`):
> od:
> fclose(arq):
```

8.3

Cálculo do Diâmetro e Espaçamento entre Estribos para Diversos Arranjos das Armaduras na Seção Transversal

Apresenta-se alguns testes realizados no Mathcad 11 para se calcular o diâmetro e espaçamento entre estribos em pilares descritos nos trabalhos de Queiroga(1999) e Sheikh & Uzumeri (1980)

a) Queiroga (1999)

Exemplo1 : Pilar P1, P4 e P6

Propriedades da Barra e seus Carregamentos:

E	Módulo de Young do Material	N/mm^2
f_y	Resistência de escoamento do aço	N/mm^2
I	Momento de Inércia da Seção Reta	mm^4
L	Comprimento da barra	mm
b	Distância entre duas pernas de estribos	mm
s	Espaçamento entre estribos	mm
ϕ	Diâmetro da armadura longitudinal	mm
ϕ	Diâmetro da armadura transversal	mm
A_s	Área da seção da armadura longitudinal	mm^2
P_y	Carga de esmagamento	N
P_{cr}	Carga de flambagem	N
Γ_1	Parâmetro adimensional de carga	
η_1	Parâmetro adimensional da rigidez dos estribos	

$$Par = \phi^4 t / S$$

$$f_y := 502 \quad \phi := 12.5 \quad L := 1200 \quad E := 210000 \quad A_s := 125$$

$$P_y := \frac{f_y}{1.15} \cdot A_s$$

$$P_y = 5.45652 \times 10^4$$

$$b := 200 - 2 \cdot 6.3 - 12.5 - 2 \cdot 17.5$$

$$b = 139.9$$

Cálculo dos valores de ϕ_t e s , considerando-se a carga de flambagem $P_{cr}=1,2P_y$

$$\gamma := 1.2$$

$$P_{cr} := \gamma \cdot P_y$$

$$P_{cr} = 6.54783 \times 10^4$$

$$\Gamma I := P_{cr} \cdot \frac{L^2}{E \cdot \phi^4} \quad \Gamma I = 18.39079 \quad \text{Equivale a} \quad \eta l := 149.1042$$

$$par := \frac{\eta l \cdot b^3 \cdot \phi^4}{L^4} \quad par = 4.80682$$

P1

$$s := 150$$

$$\phi := \sqrt[4]{par \cdot s} \quad \phi = 5.18188$$

P4

$$s := 100$$

$$\phi := \sqrt[4]{par \cdot s} \quad \phi = 4.68236$$

P6

$$s := 50$$

$$\phi := \sqrt[4]{par \cdot s} \quad \phi = 3.93738$$

Teste para um valor de $s=200$ mm

$$s := 200$$

$$\phi := \sqrt[4]{par \cdot s} \quad \phi = 5.56829$$

Para o diâmetro dos estribos, $\phi_t=6,3$ mm tem-se o seguinte espaçamento

$$\phi := 6.3$$

$$s := \frac{\phi^4}{par} \quad s = 327.72088$$

Cálculo dos valores de ϕ_t e s , considerando-se a carga de flambagem $P_{cr}=1,5P_y$

$$\gamma := 1.5$$

$$P_{cr} := \gamma \cdot P_y$$

Cálculo de ΓI

$$\Gamma I := P_{cr} \cdot \frac{L^2}{E \cdot \phi^4} \quad \Gamma I = 22.98848 \quad \text{Equivale a} \quad \eta l := 242.8594$$

$$par := \frac{\eta l \cdot b^3 \cdot \phi^4}{L^4} \quad par = 7.8293$$

Cálculo do diâmetro dos estribos dado o espaçamento entre estribos

P1

$$s := 150$$

$$\phi := \sqrt[4]{par \cdot s} \quad \phi = 5.85401$$

P4

$$s := 100$$

$$\phi := \sqrt[4]{par \cdot s} \quad \phi = 5.2897$$

P6

$$s := 50$$

$$\phi := \sqrt[4]{par \cdot s} \quad \phi = 4.44809$$

Teste com um valor de $s=200$ mm

$$s := 200$$

$$\phi := \sqrt[4]{par \cdot s} \quad \phi = 6.29055$$

Para o diâmetro dos estribos, $\phi_t=6,3$ mm tem-se o seguinte espaçamento

$$\phi := 6.3$$

$$s := \frac{\phi^4}{par} \quad s = 201.20514$$

Consideração das emendas

Para a emenda na seção, considera-se a armadura com uma extremidade livre e assim, os valores de η_1 correspondem a valores muito maiores para cada valor de Γ_1 calculado

Cálculo dos valores de ϕ_t e s , considerando-se a carga de flambagem $P_{cr}=1,2P_y$

$$\gamma := 1.2$$

$$P_{cr} := \gamma P_y$$

$$\Gamma_1 := P_{cr} \cdot \frac{L^2}{E \cdot \phi^4} \quad \Gamma_1 = 18.39079 \quad \text{Equivale a} \quad \eta l := 566.3021$$

$$par := \frac{\eta l \cdot b^3 \cdot \phi^4}{L^4} \quad par = 18.25645$$

P1

$$s := 150$$

$$\phi := \sqrt[4]{par \cdot s} \quad \phi = 7.23397$$

P4

$$s := 100$$

$$\phi := \sqrt[4]{par \cdot s} \quad \phi = 6.53663$$

P6

$$s := 50$$

$$\phi := \sqrt[4]{par \cdot s} \quad \phi = 5.49663$$

Teste para um valor de $s=200$ mm

$$s := 200$$

$$\phi := \sqrt[4]{par \cdot s} \quad \phi = 7.77341$$

Para o diâmetro dos estribos, $\phi_t=6,3$ mm tem-se o seguinte espaçamento

$$\phi := 6.3$$

$$s := \frac{\phi^4}{par} \quad s = 86.28709$$

Para o diâmetro dos estribos, $\phi_t=6,3$ mm tem-se o seguinte espaçamento

$$\phi := 6.3$$

$$s := \frac{\phi^4}{par} \quad s = 86.28709$$

Cálculo dos valores de ϕ_t e s , considerando-se a carga de flambagem $P_{cr}=1,5P_y$

$$\gamma := 1.5$$

$$P_{cr} := \gamma \cdot P_y$$

Cálculo de Γ_1

$$\Gamma_1 := P_{cr} \cdot \frac{L^2}{E \cdot \phi^4} \quad \Gamma_1 = 22.98848 \quad \text{Equivalente a} \quad \eta l := 790.8073$$

$$par := \frac{\eta l \cdot b^3 \cdot \phi^4}{L^4} \quad par = 25.49405$$

Cálculo do diâmetro dos estribos dado o espaçamento entre estribos

P1

$$s := 150$$

$$\phi := \sqrt[4]{par \cdot s} \quad \phi = 7.8638$$

P4

$$s := 100$$

$$\phi := \sqrt[4]{par \cdot s} \quad \phi = 7.10575$$

P6

$$s := 50$$

$$\phi := \sqrt[4]{par \cdot s} \quad \phi = 5.9752$$

Teste para um valor de s=200 mm

$$s := 200$$

$$\phi := \sqrt[4]{par \cdot s} \quad \phi = 8.4502$$

Para o diâmetro dos estribos, $\phi_t=6,3$ mm tem-se o seguinte espaçamento

$$\phi := 6.3$$

$$s := \frac{\phi^4}{par} \quad s = 61.79073$$

Flambagem ocorrendo entre dois estribos consecutivos

Os valores de Γ_1 para que a flambagem ocorra entre dois estribos consecutivos dependerá da relação entre L e s

P1

$$s := 150$$

$$P_{cr} := \frac{\left(E \cdot \pi^3 \cdot \frac{\phi^4}{64} \right)}{s^2} \quad \gamma := \frac{P_{cr}}{P_y} \quad \gamma = 2.02316$$

$$\Gamma_1 := \frac{\pi^3 \cdot L^2}{64 \cdot s^2} \quad \Gamma_1 = 31.00628 \quad \text{Equivale a} \quad \eta l := 443.1979$$

$$par := \frac{\eta l \cdot b^3 \cdot \phi^4}{L^4} \quad par = 14.28782$$

$$\phi := \sqrt[4]{par \cdot s} \quad \phi = 6.804$$

Consideração das emendas na seção

$$\Gamma_1 := \frac{\pi^3 \cdot L^2}{64 \cdot s^2} \quad \Gamma_1 = 31.00628 \quad \text{Equivale a} \quad \eta l := 1195.672$$

$$par := \frac{\eta l \cdot b^3 \cdot \phi^4}{L^4} \quad par = 38.54608$$

$$\phi := \sqrt[4]{par \cdot s} \quad \phi = 8.72003$$

Teste para s=200 mm

$$s := 200$$

$$Pcr := \frac{\left(E \cdot \pi^3 \cdot \frac{\phi^4}{64} \right)}{s^2} \quad \gamma := \frac{Pcr}{Py} \quad \gamma = 1.13803$$

$$\Gamma I := \frac{\pi \cdot L^2}{64 \cdot s^2} \quad \Gamma I = 17.44103 \quad \text{Equivale a} \quad \eta l := 131.1927$$

$$par := \frac{\eta l \cdot b^3 \cdot \phi^4}{L^4} \quad par = 4.22939$$

$$\phi := \sqrt[4]{par \cdot s} \quad \phi = 5.39296$$

Consideração das emendas

$$\Gamma I := \frac{\pi \cdot L^2}{64 \cdot s^2} \quad \Gamma I = 17.44103 \quad \text{Equivale a} \quad \eta l := 521.2239$$

$$par := \frac{\eta l \cdot b^3 \cdot \phi^4}{L^4} \quad par = 16.80322$$

$$\phi := \sqrt[4]{par \cdot s} \quad \phi = 7.61387$$

P4

$$s := 100$$

$$Pcr := \frac{\left(E \cdot \pi^3 \cdot \frac{\phi^4}{64} \right)}{s^2} \quad \gamma := \frac{Pcr}{Py} \quad \gamma = 4.55211$$

$$\Gamma I := \frac{\pi \cdot L^2}{64 \cdot s^2} \quad \Gamma I = 69.76412 \quad \text{Equivale a} \quad \eta l := 1890.1042$$

$$par := \frac{\eta l \cdot b^3 \cdot \phi^4}{L^4} \quad par = 60.9332$$

$$\phi := \sqrt[4]{par \cdot s} \quad \phi = 8.83514$$

Consideração das emendas na seção

$$\Gamma I := \frac{\pi^3 \cdot L^2}{64 \cdot s^2} \quad \Gamma I = 69.76412 \quad \text{Equivale a} \quad \eta l := 3206.77$$

$$par := \frac{\eta l \cdot b^3 \cdot \phi^4}{L^4} \quad par = 103.37988$$

$$\phi := \sqrt[4]{par \cdot s} \quad \phi = 10.08345$$

P6

$$s := 50$$

$$P_{cr} := \frac{\left(E \cdot \pi^3 \cdot \frac{\phi^4}{64} \right)}{s^2} \quad \gamma := \frac{P_{cr}}{P_y} \quad \gamma = 18.20845$$

$$\Gamma I := \frac{\pi^3 \cdot L^2}{64 \cdot s^2} \quad \Gamma I = 279.05649 \quad \text{Equivale a} \quad \eta l := 10200.52$$

$$par := \frac{\eta l \cdot b^3 \cdot \phi^4}{L^4} \quad par = 328.84445$$

$$\phi := \sqrt[4]{par \cdot s} \quad \phi = 11.32375$$

Consideração das emendas

$$\Gamma I := \frac{\pi^3 \cdot L^2}{64 \cdot s^2} \quad \Gamma I = 279.05649 \quad \text{Equivale a} \quad \eta l := 14166.67$$

$$par := \frac{\eta l \cdot b^3 \cdot \phi^4}{L^4} \quad par = 456.70523$$

$$\phi := \sqrt[4]{par \cdot s} \quad \phi = 12.29282$$

b. Sheikh & Uzumeri (1980)

Pilar 4A1-13

$$f_y := 438 \quad \phi := 22.2 \quad L := 1219 \quad b := 244.8 \quad E_r := 27400 \quad A_s := 387.1 \quad E_t := 5000$$

$$P_y := f_y \cdot A_s$$

$$P_y = 1.6955 \times 10^5$$

Cálculo dos valores de ϕ_t e s , considerando-se a carga de flambagem $P_{cr}=1,2P_y$

$$\gamma := 1.2$$

$$P_{cr} := \gamma \cdot P_y$$

$$\Gamma I := P_{cr} \cdot \frac{L^2}{E_r \cdot \phi^4} \quad \Gamma I = 45.42799 \quad \text{Equivale a} \quad \eta l := 943.7083$$

$$par := \frac{6 \cdot \eta l \cdot E_r \cdot b \cdot \phi^4}{E_t \cdot L^4} \quad par = 0.83556$$

Cálculo do diâmetro dos estribos dado o espaçamento entre estribos

$$s := 57.1$$

$$\phi := \sqrt[4]{par \cdot s} \quad \phi = 6.90728$$

Para o diâmetro dos estribos, $\phi_t=4,76$ mm tem-se o seguinte espaçamento

$$\phi := 4.76$$

$$s := \frac{\phi^2}{par} \quad s = 27.11664$$

Cálculo dos valores de ϕ_t e s , considerando-se a carga de flambagem $P_{cr}=1,5P_y$

$$\gamma := 1.5$$

$$P_{cr} := \gamma \cdot P_y$$

Cálculo de ΓI

$$\Gamma I := P_{cr} \cdot \frac{L^2}{E_r \cdot \phi^4} \quad \Gamma I = 56.78498 \quad \text{Equivale a} \quad \eta l := 1381.276$$

$$par := \frac{6 \cdot \eta l \cdot E_r \cdot b \cdot \phi^4}{E_t \cdot L^4} \quad par = 1.22298$$

Cálculo do diâmetro dos estribos dado o espaçamento entre estribos

$$s := 57.1$$

$$\phi := \sqrt[2]{par \cdot s} \quad \phi = 8.35658$$

Para o diâmetro dos estribos, $\phi_t=4,76$ mm tem-se o seguinte espaçamento

$$\phi := 4.76$$

$$s := \frac{\phi^2}{par} \quad s = 18.52649$$

Consideração das emendas

Para a emenda na seção, considera-se a armadura com uma extremidade livre e assim, os valores de η_1 correspondem a valores muito maiores para cada valor de Γ_1 calculado

Cálculo dos valores de ϕ_t e s , considerando-se a carga de flambagem $P_{cr}=1,2P_y$

$$\gamma := 1.2$$

$$P_{cr} := 1.2 \cdot P_y$$

$$\Gamma_1 := P_{cr} \cdot \frac{L^2}{Er \cdot \phi^4} \quad \Gamma_1 = 45.42799 \text{ Equivale a } \eta_1 := 1939.245$$

$$par := \frac{6 \eta_1 \cdot Er \cdot b \cdot \phi^4}{Et \cdot L^4} \quad par = 1.71701$$

$$s := 57.1$$

$$P_{cr} := 1.2 \cdot P_y$$

$$\phi := \sqrt[2]{par \cdot s} \quad \phi = 9.90158$$

Para o diâmetro dos estribos, $\phi_t=4,76$ mm tem-se o seguinte espaçamento

$$\phi := 4.76$$

$$s := \frac{\phi^2}{par} \quad s = 13.19596$$

Cálculo dos valores de ϕ_t e s , considerando-se a carga de flambagem $P_{cr}=1,5P_y$

$$\gamma := 1.5$$

$$P_{cr} := \gamma \cdot P_y$$

$$\Gamma_1 := P_{cr} \cdot \frac{L^2}{Er \cdot \phi^4} \quad \Gamma_1 = 56.78498 \text{ Equivale a } \eta_1 := 2529.641$$

$$par := \frac{6 \cdot \eta_1 \cdot Er \cdot b \cdot \phi^4}{Et \cdot L^4} \quad par = 2.23975$$

Cálculo do diâmetro dos estribos dado o espaçamento entre estribos

$$s := 57.1$$

$$\phi := \sqrt[2]{par \cdot s} \quad \phi = 11.30883$$

Para o diâmetro dos estribos, $\phi_t=4,76$ mm tem-se o seguinte espaçamento

$$\phi := 4.76$$

$$s := \frac{\phi^2}{par} \quad s = 10.11614$$

Flambagem ocorrendo entre dois estribos consecutivos

Os valores de Γ_1 para que a flambagem ocorra entre dois estribos consecutivos dependerá da relação entre L e s

$$s := 57.1$$

$$P_{cr} := \frac{\left(E \cdot \pi^3 \cdot \frac{\phi^4}{64} \right)}{s^2} \quad \gamma := \frac{P_{cr}}{P_y} \quad \gamma = 44.70245$$

$$\Gamma_1 := \frac{\pi^3 \cdot L^2}{64 \cdot s^2} \quad \Gamma_1 = 220.80293 \quad \text{Equivale a} \quad \eta l := 7864.5833$$

$$par := \frac{6 \cdot \eta l \cdot E_r \cdot b \cdot \phi^4}{E_t \cdot L^4} \quad par = 6.96331$$

Cálculo do diâmetro dos estribos dado o espaçamento entre estribos

$$s := 57.1$$

$$\phi := \sqrt[2]{par \cdot s} \quad \phi = 19.94004$$

Consideração das emendas

$$\Gamma_1 := \frac{\pi^3 \cdot L^2}{64 \cdot s^2} \quad \Gamma_1 = 220.80293 \quad \text{Equivale a} \quad \eta l := 11088.54$$

$$par := \frac{6 \cdot \eta l \cdot E_r \cdot b \cdot \phi^4}{E_t \cdot L^4} \quad par = 9.81781$$

Cálculo do diâmetro dos estribos dado o espaçamento entre estribos

$$s := 57.1$$

$$\phi := \sqrt[2]{par \cdot s} \quad \phi = 23.67693$$

Pilar 2A5-14 e 2A6-15

$$f_y := 404 \quad \phi := 15.87 \quad L := 1219 \quad b := 251.13 \quad E_r := 23900 \quad A_s := 197.81 \quad E_t := 5000$$

$$P_y := f_y \cdot A_s$$

$$P_y = 7.99152 \times 10^4$$

Cálculo dos valores de ϕ_t e s , considerando-se a carga de flambagem $P_{cr}=1,2P_y$

$$\gamma := 1.2$$

$$P_{cr} := \gamma \cdot P_y$$

$$\Gamma := P_{cr} \cdot \frac{L^2}{E_r \cdot \phi^4} \quad \Gamma = 93.99671 \quad \text{Equivale a} \quad \eta l := 2848.95$$

$$par := \frac{6 \cdot \eta l \cdot E_r \cdot b \cdot \phi^4}{E_t \cdot L^4} \quad par = 0.58946$$

Cálculo do diâmetro dos estribos dado o espaçamento entre estribos

Corpo de prova - 2A5-14

$$s := 76.2$$

$$\phi := \sqrt[2]{par \cdot s} \quad \phi = 6.70201$$

Para o diâmetro dos estribos, $\phi_t=9,52$ mm tem-se o seguinte espaçamento

$$\phi := 9.52$$

$$s := \frac{\phi^2}{par} \quad s = 153.75117$$

Corpo de prova - 2A6-15

$$s := 35$$

$$\phi := \sqrt[2]{par \cdot s} \quad \phi = 4.54215$$

Para o diâmetro dos estribos, $\phi_t=6,35$ mm tem-se o seguinte espaçamento

$$\phi := 6.35$$

$$s := \frac{\phi^2}{par} \quad s = 68.40565$$

Cálculo dos valores de ϕ_t e s , considerando-se a carga de flambagem $P_{cr}=1,5P_y$

$$\gamma := 1.5$$

$$P_{cr} := \gamma \cdot P_y$$

Cálculo de Γ_1

$$\Gamma_1 := P_{cr} \cdot \frac{L^2}{E_r \cdot \phi^4} \quad \Gamma_1 = 117.49589 \quad \text{Equivalente a} \quad \eta l := 3776.041$$

$$par := \frac{6 \cdot \eta l \cdot E_r \cdot b \cdot \phi^4}{E_t \cdot L^4} \quad par = 0.78128$$

Cálculo do diâmetro dos estribos dado o espaçamento entre estribos

Corpo de prova - 2A5-14

$$s := 76.2$$

$$\phi := \sqrt[2]{par \cdot s} \quad \phi = 7.7158$$

Para o diâmetro dos estribos, $\phi_t=9,52$ mm tem-se o seguinte espaçamento

$$\phi := 9.52$$

$$s := \frac{\phi^2}{par} \quad s = 116.00229$$

Corpo de prova - 2A6-15

$$s := 35$$

$$\phi := \sqrt[2]{par \cdot s} \quad \phi = 5.22923$$

Para o diâmetro dos estribos, $\phi_t=6,35$ mm tem-se o seguinte espaçamento

$$\phi := 6.35$$

$$s := \frac{\phi^2}{par} \quad s = 51.61074$$

Consideração das emendas

Para a emenda na seção, considera-se a armadura com uma extremidade livre e assim, os valores de η_1 correspondem a valores muito maiores para cada valor de

Γ_1 calculado

Cálculo dos valores de ϕ_t e s , considerando-se a carga de flambagem $P_{cr}=1,2P_y$

$$\gamma := 1.2$$

$$P_{cr} := 1.2 \cdot P_y$$

$$\Gamma_1 := P_{cr} \cdot \frac{L^2}{E_r \cdot \phi^4} \quad \Gamma_1 = 93.99671 \quad \text{Equivalente a} \quad \eta l := 4458.328125$$

$$par := \frac{6 \cdot \eta l \cdot E_r \cdot b \cdot \phi^4}{E_t \cdot L^4} \quad par = 0.92245$$

Cálculo do diâmetro dos estribos dado o espaçamento entre estribos

Corpo de prova - 2A5-14

$$s := 76.2$$

$$\phi_t := \sqrt[2]{par \cdot s} \quad \phi_t = 8.38395$$

Para o diâmetro dos estribos, $\phi_t=9,52$ mm tem-se o seguinte espaçamento

$$\phi_t := 9.52$$

$$s := \frac{\phi_t^2}{par} \quad s = 98.2497$$

Corpo de prova - 2A6-15

$$s := 35$$

$$\phi_t := \sqrt[2]{par \cdot s} \quad \phi_t = 5.68205$$

Para o diâmetro dos estribos, $\phi_t=6,35$ mm tem-se o seguinte espaçamento

$$\phi_t := 6.35$$

$$s := \frac{\phi_t^2}{par} \quad s = 43.71241$$

Cálculo dos valores de ϕ_t e s , considerando-se a carga de flambagem $P_{cr}=1,5P_y$

$$\gamma := 1.5$$

$$P_{cr} := \gamma \cdot P_y$$

Cálculo de Γ_1

$$\Gamma_1 := P_{cr} \cdot \frac{L^2}{Er \cdot \phi^4} \quad \Gamma_1 = 117.49589 \quad \text{Equivale a} \quad \eta l := 5692.708333$$

$$par := \frac{6 \cdot \eta l \cdot Er \cdot b \cdot \phi^4}{Et \cdot L^4} \quad par = 1.17785$$

Cálculo do diâmetro dos estribos dado o espaçamento entre estribos

Corpo de prova - 2A5-14

$$s := 76.2$$

$$\phi_t := \sqrt[2]{par \cdot s} \quad \phi_t = 9.47376$$

Para o diâmetro dos estribos, $\phi_t=9,52$ mm tem-se o seguinte espaçamento

$$\phi := 9.52$$

$$s := \frac{\phi^2}{par} \quad s = 76.9457$$

Corpo de prova - 2A6-15

$$s := 35$$

$$\phi := \sqrt[2]{par \cdot s} \quad \phi = 6.42065$$

Para o diâmetro dos estribos, $\phi_t=6,35$ mm tem-se o seguinte espaçamento

$$\phi := 6.35$$

$$s := \frac{\phi^2}{par} \quad s = 34.23402$$

Flambagem ocorrendo entre dois estribos consecutivos - 2A5-14

Os valores de Γ_1 para que a flambagem ocorra entre dois estribos consecutivos dependerá da relação entre L e s

$$s := 76.2$$

$$P_{cr} := \frac{\left(E \cdot \pi^3 \cdot \frac{\phi^4}{64} \right)}{s^2} \quad \gamma := \frac{P_{cr}}{P_y} \quad \gamma = 13.90776$$

$$\Gamma_1 := \frac{\pi^3 \cdot L^2}{64 \cdot s^2} \quad \Gamma_1 = 123.98442 \quad \text{Equivale a} \quad \eta l := 4026.037$$

$$par := \frac{6 \cdot \eta l \cdot E_r \cdot b \cdot \phi^4}{E_t \cdot L^4} \quad par = 0.83301$$

Cálculo do diâmetro dos estribos dado o espaçamento entre estribos

$$\phi := \sqrt[2]{par \cdot s} \quad \phi = 7.96713$$

Consideração das emendas

$$\eta l := 6041.66$$

$$par := \frac{6 \cdot \eta l \cdot E_r \cdot b \cdot \phi^4}{E_t \cdot L^4} \quad par = 1.25005$$

Cálculo do diâmetro dos estribos dado um certo espaçamento entre estribos

$$\phi_t := \sqrt[2]{par \cdot s} \quad \phi_t = 9.7598$$

Flambagem ocorrendo entre dois estribos consecutivos - 2A6-15

Os valores de Γ_1 para que a flambagem ocorra entre dois estribos consecutivos dependerá da relação entre L e s

$$s := 35$$

$$P_{cr} := \frac{\left(E \cdot \pi^3 \cdot \frac{\phi^4}{64} \right)}{s^2} \quad \gamma := \frac{P_{cr}}{P_y} \quad \gamma = 65.92209$$

$$\Gamma_1 := \frac{\pi^3 \cdot L^2}{64 \cdot s^2} \quad \Gamma_1 = 587.68008 \quad \text{Equivale a} \quad \eta l := 22455.77$$

$$par := \frac{6 \cdot \eta l \cdot E_r \cdot b \cdot \phi^4}{E_t \cdot L^4} \quad par = 4.64621$$

Cálculo do diâmetro dos estribos dado o espaçamento entre estribos

$$\phi_t := \sqrt[2]{par \cdot s} \quad \phi_t = 12.75215$$

Consideração das emendas

$$\eta l := 30313.693$$

$$par := \frac{6 \cdot \eta l \cdot E_r \cdot b \cdot \phi^4}{E_t \cdot L^4} \quad par = 6.27205$$

Cálculo do diâmetro dos estribos dado um certo espaçamento entre estribos

$$\phi_t := \sqrt[2]{par \cdot s} \quad \phi_t = 14.81627$$

Pilar 4B3-19, 4B4-20 E 4B6-21

$$f_y := 392 \quad \phi_t := 19.05 \quad L := 1219 \quad b := 247.95 \quad E_r := 19300 \quad A_s := 285.02 \quad E_t := 5000$$

$$P_y := f_y \cdot A_s$$

$$P_y = 1.11728 \times 10^5$$

Cálculo dos valores de ϕ_t e s, considerando-se a carga de flambagem $P_{cr} = 1,2P_y$

$$\gamma := 1.2$$

$$P_{cr} := \gamma \cdot P_y$$

$$\Gamma I := P_{cr} \cdot \frac{L^2}{E_r \cdot \phi^4} \quad \Gamma I = 78.38137 \text{ Equivale a } \eta I := 2229.162$$

$$par := \frac{4 \cdot \eta I \cdot E_r \cdot b \cdot \phi^4}{E_t \cdot L^4} \quad par = 0.509$$

Cálculo do diâmetro dos estribos dado o espaçamento entre estribos

Corpo de prova - 4B3-19

$$s := 101.6$$

$$\phi := \sqrt[2]{par \cdot s} \quad \phi = 7.19128$$

Para o diâmetro dos estribos, $\phi_t = 7,94$ mm tem-se o seguinte espaçamento

$$\phi := 7.94$$

$$s := \frac{\phi^2}{par} \quad s = 123.85766$$

Corpo de prova - 4B4-20

$$s := 38.1$$

$$\phi := \sqrt[2]{par \cdot s} \quad \phi = 4.40374$$

Para o diâmetro dos estribos, $\phi_t = 4,76$ mm tem-se o seguinte espaçamento

$$\phi := 4.76$$

$$s := \frac{\phi^2}{par} \quad s = 44.51391$$

Corpo de prova - 4B6-21

$$s := 47.7$$

$$\phi := \sqrt[2]{par \cdot s} \quad \phi = 4.9274$$

Para o diâmetro dos estribos, $\phi_t = 6,35$ mm tem-se o seguinte espaçamento

$$\phi := 6.35$$

$$s := \frac{\phi^2}{par} \quad s = 79.21899$$

Cálculo dos valores de ϕ_t e s , considerando-se a carga de flambagem $P_{cr} = 1,5P_y$

$$\gamma := 1.5$$

$$P_{cr} := \gamma \cdot P_y$$

Cálculo de $\Gamma 1$

$$\Gamma 1 := P_{cr} \cdot \frac{L^2}{E_r \cdot \phi^4} \quad \Gamma 1 = 97.97671 \quad \text{Equivale a} \quad \eta l := 3005.2031$$

$$par := \frac{4 \cdot \eta l \cdot E_r \cdot b \cdot \phi^4}{E_t \cdot L^4} \quad par = 0.6862$$

Cálculo do diâmetro dos estribos dado o espaçamento entre estribos

Corpo de prova - 4B3-19

$$s := 101.6$$

$$\phi := \sqrt[2]{par \cdot s} \quad \phi = 8.34972$$

Para o diâmetro dos estribos, $\phi_t=7,94$ mm tem-se o seguinte espaçamento

$$\phi := 7.94$$

$$s := \frac{\phi^2}{par} \quad s = 91.87359$$

Corpo de prova - 4B4-20

$$s := 38.1$$

$$\phi := \sqrt[2]{par \cdot s} \quad \phi = 5.11314$$

Para o diâmetro dos estribos, $\phi_t=4,76$ mm tem-se o seguinte espaçamento

$$\phi := 4.76$$

$$s := \frac{\phi^2}{par} \quad s = 33.01897$$

Corpo de prova - 4B6-21

$$s := 47.7$$

$$\phi := \sqrt[2]{par \cdot s} \quad \phi = 5.72116$$

Para o diâmetro dos estribos, $\phi_t=6,35$ mm tem-se o seguinte espaçamento

$$\phi := 6.35$$

$$s := \frac{\phi^2}{par} \quad s = 58.76207$$

Consideração das emendas

Para a emenda na seção, considera-se a armadura com uma extremidade livre e assim, os valores de ηl correspondem a valores muito maiores para cada valor de

Γ_1 calculado

Cálculo dos valores de ϕ_t e s , considerando-se a carga de flambagem $P_{cr}=1,2P_y$

$$\gamma := 1.2$$

$$P_{cr} := 1.2 \cdot P_y$$

$$\Gamma_1 := P_{cr} \cdot \frac{L^2}{E_r \cdot \phi^4} \quad \Gamma_1 = 78.38137 \quad \text{Equivale a} \quad \eta l := 3657.292$$

$$par := \frac{4 \cdot \eta l \cdot E_r \cdot b \cdot \phi^4}{E_t \cdot L^4} \quad par = 0.8351$$

Cálculo do diâmetro dos estribos dado o espaçamento entre estribos

Corpo de prova - 4B3-19

$$s := 101.6$$

$$\phi := \sqrt[2]{par \cdot s} \quad \phi = 9.21117$$

Para o diâmetro dos estribos, $\phi_t=7,94$ mm tem-se o seguinte espaçamento

$$\phi := 7.94$$

$$s := \frac{\phi^2}{par} \quad s = 75.49268$$

Corpo de prova - 4B4-20

$$s := 38.1$$

$$\phi := \sqrt[2]{par \cdot s} \quad \phi = 5.64067$$

Para o diâmetro dos estribos, $\phi_t=4,76$ mm tem-se o seguinte espaçamento

$$\phi := 4.76$$

$$s := \frac{\phi^2}{par} \quad s = 27.13175$$

$$s := 47.7$$

$$\phi := \sqrt[2]{par \cdot s} \quad \phi = 6.31142$$

Corpo de prova - 4B6-21

Para o diâmetro dos estribos, $\phi_t=6,35$ mm tem-se o seguinte espaçamento

$$\phi := 6.35$$

$$s := \frac{\phi^2}{par} \quad s = 48.2849$$

Cálculo dos valores de ϕ_t e s , considerando-se a carga de flambagem $P_{cr}=1,5P_y$

$$\gamma := 1.5$$

$$P_{cr} := \gamma \cdot P_y$$

Cálculo de $\Gamma 1$

$$\Gamma 1 := P_{cr} \cdot \frac{L^2}{Er \cdot \phi^4} \quad \Gamma 1 = 97.97671 \quad \text{Equivale a} \quad \eta l := 4681.771$$

$$par := \frac{4 \cdot \eta l \cdot Er \cdot b \cdot \phi^4}{Et \cdot L^4} \quad par = 1.06902$$

Cálculo do diâmetro dos estribos dado o espaçamento entre estribos

Corpo de prova - 4B3-19

$$s := 101.6$$

$$\phi := \sqrt[2]{par \cdot s} \quad \phi = 10.42174$$

Para o diâmetro dos estribos, $\phi_t=7,94$ mm tem-se o seguinte espaçamento

$$\phi := 7.94$$

$$s := \frac{\phi^2}{par} \quad s = 58.97315$$

Corpo de prova - 4B4-20

$$s := 38.1$$

$$\phi := \sqrt[2]{par \cdot s} \quad \phi = 6.38199$$

Para o diâmetro dos estribos, $\phi_t=4,76$ mm tem-se o seguinte espaçamento

$$\phi := 4.76$$

$$s := \frac{\phi^2}{par} \quad s = 21.1947$$

Corpo de prova - 4B6-21

$$s := 47.7$$

$$\phi := \sqrt[2]{par \cdot s} \quad \phi = 7.14089$$

Para o diâmetro dos estribos, $\phi_t=6,35$ mm tem-se o seguinte espaçamento

$$\phi := 6.35$$

$$s := \frac{\phi^2}{par} \quad s = 37.71905$$

Flambagem ocorrendo entre dois estribos consecutivos - 4B3-19

Os valores de Γ_1 para que a flambagem ocorra entre dois estribos consecutivos dependerá da relação entre L e s

$$s := 101.6$$

$$P_{cr} := \frac{\left(E \cdot \pi^3 \cdot \frac{\phi^4}{64} \right)}{s^2} \quad \gamma := \frac{P_{cr}}{P_y} \quad \gamma = 11.6177$$

$$\Gamma_1 := \frac{\pi^3 \cdot L^2}{64 \cdot s^2} \quad \Gamma_1 = 69.74124 \quad \text{Equivale a} \quad \eta l := 1890.619$$

$$par := \frac{4 \cdot \eta l \cdot E_r \cdot b \cdot \phi^4}{E_t \cdot L^4} \quad par = 0.4317$$

Cálculo do diâmetro dos estribos dado um certo espaçamento entre estribos

$$\phi := \sqrt[2]{par \cdot s} \quad \phi = 6.62273$$

Consideração das emendas

$$\eta l := 3207.8125$$

$$par := \frac{4 \cdot \eta l \cdot E_r \cdot b \cdot \phi^4}{E_t \cdot L^4} \quad par = 0.73246$$

Cálculo do diâmetro dos estribos

$$\phi := \sqrt[2]{par \cdot s} \quad \phi = 8.6266$$

Flambagem ocorrendo entre dois estribos consecutivos - 4B4-20

Os valores de Γ_1 para que a flambagem ocorra entre dois estribos consecutivos dependerá da relação entre L e s

$$s := 38.1$$

$$P_{cr} := \frac{\left(E \cdot \pi^3 \cdot \frac{\phi^4}{64} \right)}{s^2} \quad \gamma := \frac{P_{cr}}{P_y} \quad \gamma = 82.61473$$

$$\Gamma_1 := \frac{3 \cdot L^2}{64 \cdot s^2} \quad \Gamma_1 = 495.93768 \quad \text{Equivale a} \quad \eta l := 18818.32$$

$$par := \frac{4 \cdot \eta l \cdot Er \cdot b \cdot \phi^4}{Et \cdot L^4} \quad par = 4.29692$$

Cálculo do diâmetro dos estribos dado o espaçamento entre estribos

$$\phi := \sqrt[2]{par \cdot s} \quad \phi = 12.79503$$

Consideração das emendas

$$\eta l := 25520.83$$

$$par := \frac{4 \cdot \eta l \cdot Er \cdot b \cdot \phi^4}{Et \cdot L^4} \quad par = 5.82735$$

Cálculo do diâmetro dos estribos

$$\phi := \sqrt[2]{par \cdot s} \quad \phi = 14.90041$$

Flambagem ocorrendo entre dois estribos consecutivos - 4B6-21

Os valores de Γ_1 para que a flambagem ocorra entre dois estribos consecutivos dependerá da relação entre L e s

$$s := 47.7$$

$$P_{cr} := \frac{\left(E \cdot \pi^3 \cdot \frac{\phi^4}{64} \right)}{s^2} \quad \gamma := \frac{P_{cr}}{P_y} \quad \gamma = 52.70729$$

$$\Gamma_1 := \frac{3 \cdot L^2}{64 \cdot s^2} \quad \Gamma_1 = 316.40278 \quad \text{Equivale a} \quad \eta l := 11692.76$$

$$par := \frac{4 \cdot \eta l \cdot Er \cdot b \cdot \phi^4}{Et \cdot L^4} \quad par = 2.66989$$

Cálculo do diâmetro dos estribos dado o espaçamento entre estribos

$$\phi := \sqrt[2]{par \cdot s} \quad \phi = 11.28511$$

Consideração das emendas

$$\eta l := 16147.026$$

$$par := \frac{4 \cdot \eta l \cdot Er \cdot b \cdot \phi^4}{Et \cdot L^4} \quad par = 3.68697$$

$$\text{Cálculo do diâmetro dos estribos} \quad \phi := \sqrt[2]{par \cdot s} \quad \phi = 13.26153$$

- Verificação do Pilar de Concreto Armado Apresentado no Ítem 5.7

Propriedades da Barra e seus Carregamentos:

f_{ck}	Resistência de escoamento do aço	Mpa
f_{yk}	Resistência de escoamento do aço	Mpa
L	Comprimento livre da coluna	m
B	Menor dimensão da seção	m
H	Maior dimensão da seção	m
s	Espaçamento entre estribos	m
ϕ_l	Diâmetro da armadura longitudinal	m
ϕ_t	Diâmetro da armadura transversal	m
A_s	Área da seção da armadura longitudinal	m ²
c	Cobrimento	m

$$\begin{aligned}
 f_{yk} &:= 500 & f_{ck} &:= 20 & c &:= 0.03 & L &:= 3.5 \\
 f_{cd} &:= \frac{f_{ck}}{1.4} & f_{cd} &= 14.2857143 & f_{yd} &:= \frac{f_{yk}}{1.15} & f_{yd} &= 434.7826087
 \end{aligned}$$

Adotou-se a seguinte seção B=0,25 m e h=1,10 m

$$B := 0.25 \quad h := 1.10$$

$$A_c := 0.25 \cdot 1.10$$

$$A_c = 0.275$$

$$\phi_l := 0.016 \quad n := 22$$

$$A_s := \frac{n \cdot \pi \cdot \phi_l^2}{4}$$

$$A_s = 4.4233625 \times 10^{-3}$$

Carga máxima em tf

$$N_d := 600$$

Valores limites para armaduras longitudinais de Pilares de acordo com o ítem 17.3.5.3 da NBR 6118-2003

Valores mínimos: $A_{smin} \geq 0,004 A_c$ em m^2

$$A_{smin} := \frac{0.15 \cdot N_d}{f_{yd} \cdot 100}$$

$$A_{smin} = 2.07 \times 10^{-3}$$

$$A_{smin} := 0.004 \cdot A_c$$

$$A_{smin} = 1.1 \times 10^{-3}$$

Taxa de armadura de acordo com o ítem 17.3.5.3.1 da NBR 6118-2003

$$\rho_{min} := \frac{0.15 \cdot N_d}{f_{yd} \cdot 100 \cdot A_c}$$

$$\rho_{min} = 7.5272727 \times 10^{-3}$$

$$\rho_s := \frac{A_s \cdot 100}{A_c}$$

$$\rho_s = 1.6084954 \quad \text{Ok}$$

Armadura Transversal de acordo com o ítem 18.4.3 da NBR 6118-2003

$$\phi_t := 0.006$$

$$s := 0.15$$

Distribuição transversal de acordo com o ítem 18.4.2.2

Espaçamento entre as faces das barras longitudinais

$$sl := \frac{h - 2 \cdot (c + \phi_t) - 11 \cdot \phi}{10}$$

$$sl = 0.08514$$

- Cálculo do Diâmetro e Espaçamento entre Estribos- Ítem 5.7

Apresenta-se alguns testes para se calcular o diâmetro e espaçamento entre estribos em um pilar de concreto armado.

Propriedades da Barra e seus Carregamentos:

E	Módulo de Young do Material	N/mm ²
f _y	Resistência de escoamento do aço	N/mm ²
I	Momento de inércia	mm ⁴
L	Comprimento da barra	mm
b	Vão livre de flexão	mm
s	Espaçamento entre estribos	mm
φ _l	Diâmetro da armadura longitudinal	mm
φ _t	Diâmetro da armadura transversal	mm
A _s	Área da seção da armadura longitudinal	mm ²
P _y	Carga de esmagamento	N
P _{cr}	Carga de flambagem	N
Γ ₁	Parâmetro adimensional de carga	
η ₁	Parâmetro adimensional da rigidez dos estribos	

$$Par = \phi^4 t / S$$

$$f_y := 435 \quad \phi_l := 16 \quad L := 3500 \quad E := 210000 \quad A_s := 200$$

$$b := 1100 - \phi_l - 2 \cdot (30) - 2 \cdot (5)$$

$$b = 1.014 \times 10^3$$

$$P_y := f_y \cdot A_s$$

$$P_y = 8.7 \times 10^4$$

Caso 1

Cálculo dos valores de ϕ_t e S, considerando-se a carga de flambagem $P_{cr}=1,2P_y$

$$\gamma := 1.2$$

$$P_{cr} := \gamma \cdot P_y$$

$$P_{cr} = 1.044 \times 10^5$$

$$\Gamma_1 := P_{cr} \cdot \frac{L^2}{E \cdot \phi^4} \quad \Gamma_1 = 92.92603 \quad \text{Equivale a} \quad \eta_1 := 2802.08$$

$$\text{par} := \frac{192 \cdot \eta_1 \cdot b^3 \cdot \phi^4}{38.4 L^4} \quad \text{par} = 6.37929 \times 10^3$$

$$s := 19C$$

$$\phi_t := \sqrt[4]{\text{par} \cdot s} \quad \phi_t = 33.18039$$

$$s := 15C$$

$$\phi_t := \sqrt[4]{\text{par} \cdot s} \quad \phi_t = 31.27633$$

$$s := 5C$$

$$\phi_t := \sqrt[4]{\text{par} \cdot s} \quad \phi_t = 23.76488$$

Para o diâmetro dos estribos, $\phi_t=6,3$ mm tem-se o seguinte espaçamento

$$\phi_t := 6.3$$

$$s := \frac{\phi_t^4}{\text{par}} \quad s = 0.24694$$

Caso 2

$$b := 507$$

$$\text{par} := \frac{192 \cdot \eta_1 \cdot b^3 \cdot \phi^4}{83.33 L^4} \quad \text{par} = 367.46164$$

$$s := 19C$$

$$\phi_t := \sqrt[4]{\text{par} \cdot s} \quad \phi_t = 16.25517$$

$$s := 15C$$

$$\phi_t := \sqrt[4]{\text{par} \cdot s} \quad \phi_t = 15.32237$$

$$s := 50$$

$$\phi_t := \sqrt[4]{\text{par} \cdot s} \quad \phi_t = 11.64248$$

Para o diâmetro dos estribos, $\phi_t=6,3$ mm tem-se o seguinte espaçamento

$$\phi_t := 6.3$$

$$s := \frac{\phi_t^4}{\text{par}} \quad s = 4.28697$$

Caso 3

$$b := 304.2 \quad a := 101.4$$

$$\text{par} := \frac{192 \cdot \eta_1 \cdot a^3 \cdot \phi_t^4}{6 \cdot L^4} \quad \text{par} = 40.82744$$

$$s := 190$$

$$\phi_t := \sqrt[4]{\text{par} \cdot s} \quad \phi_t = 9.38483$$

$$s := 150$$

$$\phi_t := \sqrt[4]{\text{par} \cdot s} \quad \phi_t = 8.84628$$

$$s := 50$$

$$\phi_t := \sqrt[4]{\text{par} \cdot s} \quad \phi_t = 6.72172$$

Para o diâmetro dos estribos, $\phi_t=6,3$ mm tem-se o seguinte espaçamento

$$\phi_t := 6.3$$

$$s := \frac{\phi_t^4}{\text{par}} \quad s = 38.58425$$

Considerando-se apenas modos de deformação simétricos se tem os seguintes resultados

$$\eta_1 := 4472.39$$

$$\text{par} := \frac{192 \cdot \eta_1 \cdot a^3 \cdot \phi_t^4}{6 \cdot L^4} \quad \text{par} = 65.16453$$

$$s := 190$$

$$\phi_t := \sqrt[4]{\text{par} \cdot s} \quad \phi_t = 10.54851$$

$$s := 150$$

$$\phi_t := \sqrt[4]{\text{par} \cdot s} \quad \phi_t = 9.94319$$

$$s := 50$$

$$\phi_t := \sqrt[4]{\text{par} \cdot s} \quad \phi_t = 7.55519$$

Para o diâmetro dos estribos, $\phi_t=6,3$ mm tem-se o seguinte espaçamento

$$\phi_t := 6.3$$

$$s := \frac{\phi_t^4}{\text{par}} \quad s = 24.17413$$

Caso 4

$$b := 202.8$$

$$\text{par} := \frac{\eta \cdot b^3 \cdot \phi_t^4}{L^4} \quad \text{par} = 16.29113$$

$$s := 190$$

$$\phi_t := \sqrt[4]{\text{par} \cdot s} \quad \phi_t = 7.45892$$

$$s := 150$$

$$\phi_t := \sqrt[4]{\text{par} \cdot s} \quad \phi_t = 7.0309$$

$$s := 50$$

$$\phi_t := \sqrt[4]{\text{par} \cdot s} \quad \phi_t = 5.34233$$

Para o diâmetro dos estribos, $\phi_t=6,3$ mm tem-se o seguinte espaçamento

$$\phi_t := 6.3$$

$$s := \frac{\phi_t^4}{\text{par}} \quad s = 96.69654$$

Caso 5

$$b := 507 \quad a := 46$$

Cálculo dos valores de ϕ_t e s , considerando-se a carga de flambagem $P_{cr}=1,2P_y$

$$\gamma := 1.2$$

$$P_{cr} := \gamma P_y$$

$$P_{cr} = 1.044 \times 10^5$$

$$\Gamma I := P_{cr} \cdot \frac{L^2}{E \cdot \phi^4} \quad \Gamma I = 92.92603 \text{ Equivale a } \eta l := 2802.08$$

$$par := \frac{192 \eta l \cdot \phi^4 \cdot [10 \cdot a^3 \cdot (13 \cdot b^3 + 528 a^2 \cdot b - 640 a^3 - 144 a \cdot b^2)]}{3 \cdot b^3 \cdot L^4}$$

$$par = 289.93988$$

$$s := 190$$

$$\phi_t := \sqrt[4]{par \cdot s} \quad \phi_t = 15.32023$$

$$s := 150$$

$$\phi_t := \sqrt[4]{par \cdot s} \quad \phi_t = 14.44108$$

$$s := 50$$

$$\phi_t := \sqrt[4]{par \cdot s} \quad \phi_t = 10.97285$$

Para o diâmetro dos estribos, $\phi_t=6,3$ mm tem-se o seguinte espaçamento

$$\phi_t := 6.3$$

$$s := \frac{\phi_t^4}{par}$$

$$s = 5.43318$$

Caso 6

$$b := 507 \quad a := 46$$

$$par := \frac{192 \cdot \eta l \cdot \phi^4 \cdot \left[a^3 \cdot (21 \cdot b^3 + 192 \cdot b \cdot a^2 - 128 \cdot a^3 - 108 \cdot b^2 \cdot a) \right]}{6 \cdot b^3 \cdot L^4}$$

$$par = 48.35486$$

$$s := 190$$

$$\phi := \sqrt[4]{par \cdot s} \quad \phi = 9.79035$$

$$s := 150$$

$$\phi := \sqrt[4]{par \cdot s} \quad \phi = 9.22854$$

$$s := 100$$

$$\phi := \sqrt[4]{par \cdot s} \quad \phi = 8.33892$$

$$s := 50$$

$$\phi := \sqrt[4]{par \cdot s} \quad \phi = 7.01217$$

Para o diâmetro dos estribos, $\phi_t = 6,3$ mm tem-se o seguinte espaçamento

$$\phi := 6.3$$

$$s := \frac{\phi^4}{par} \quad s = 32.57782$$

Considerando-se $\gamma = 1,0$ tem-se os seguintes resultados para este caso

$$\gamma := 1.0$$

$$P_{cr} := \gamma \cdot P_y$$

$$P_{cr} = 8.7 \times 10^4$$

$$\Gamma I := Pcr \cdot \frac{L^2}{E \cdot \phi^4} \quad \Gamma I = 77.43835 \quad \text{Equivalente a} \quad \eta l := 2193.29$$

$$par := \frac{192 \cdot \eta l \cdot \phi^4 \cdot \left[a^3 \cdot (21 \cdot b^3 + 192 \cdot b \cdot a^2 - 128 \cdot a^3 - 108 \cdot b^2 \cdot a) \right]}{6 \cdot b^3 \cdot L^4}$$

$$par = 37.84911$$

$$s := 190$$

$$\phi := \sqrt[4]{par \cdot s} \quad \phi = 9.20878$$

$$s := 150$$

$$\phi := \sqrt[4]{par \cdot s} \quad \phi = 8.68034$$

$$s := 100$$

$$\phi := \sqrt[4]{par \cdot s} \quad \phi = 7.84357$$

$$s := 50$$

$$\phi := \sqrt[4]{par \cdot s} \quad \phi = 6.59563$$

Para o diâmetro dos estribos, $\phi_t=6,3$ mm tem-se o seguinte espaçamento

$$\phi := 6.3$$

$$s := \frac{\phi^4}{par} \quad s = 41.62043$$

Caso 7

$$\gamma = 1.2$$

$$a := 46 \quad b := 184$$

$$\eta l := 2802.0\text{t}$$

$$par := \frac{2 \cdot \eta l \cdot \phi^4 \cdot b^3}{L^4} \quad par = 15.24656$$

$$s := 19\text{C}$$

$$\phi := \sqrt[4]{par \cdot s} \quad \phi = 7.33637$$

$$s := 15\text{C}$$

$$\phi := \sqrt[4]{par \cdot s} \quad \phi = 6.91538$$

$$s := 5\text{C}$$

$$\phi := \sqrt[4]{par \cdot s} \quad \phi = 5.25455$$

Para o diâmetro dos estribos, $\phi_t=6,3$ mm tem-se o seguinte espaçamento

$$\phi := 6.3$$

$$s := \frac{\phi^4}{par} \quad s = 103.32144$$

poderia utilizar apenas dois estribos
suplementares neste caso

$$\phi := 5$$

$$s := \frac{\phi^4}{par} \quad s = 40.99286$$

Cálculo para menor rigidez para o maior vão de flexão

$$b := 42\text{C} \quad a := 4\text{C}$$

$$par := \frac{192 \cdot \eta l \cdot \phi^4 \cdot [a^3 \cdot (2 \cdot b - 3 \cdot a)]}{6 \cdot b \cdot L^4} \quad par = 6.37088$$

$$s := 19\text{C}$$

$$\phi := \sqrt[4]{par \cdot s} \quad \phi = 5.89846$$

$$s := 15\text{C}$$

$$\phi := \sqrt[4]{par \cdot s} \quad \phi = 5.55997$$

$$s := 50$$

$$\phi := \sqrt[4]{par \cdot s} \quad \phi = 4.22467$$

$$\gamma = 1,0 \quad \eta l := 2193.29 \quad b := 184 \quad a := 46$$

$$par := \frac{2 \cdot \eta l \cdot \phi^4 \cdot b^3}{L^4} \quad par = 11.93403$$

$$s := 190$$

$$\phi := \sqrt[4]{par \cdot s} \quad \phi = 6.90057$$

$$s := 150$$

$$\phi := \sqrt[4]{par \cdot s} \quad \phi = 6.50459$$

$$s := 50$$

$$\phi := \sqrt[4]{par \cdot s} \quad \phi = 4.94242$$

Para o diâmetro dos estribos, $\phi_t = 6,3$ mm tem-se o seguinte espaçamento

$$\phi := 6.3$$

$$s := \frac{\phi^4}{par} \quad s = 132.0003$$

$$\phi := 5$$

$$s := \frac{\phi^4}{par} \quad s = 52.37123$$

Caso 8

Para o menor lado - $\gamma = 1,2$ $\eta l := 2802.08$ $b := 164$

$$par := \frac{b^3 \cdot \eta l \cdot \phi^4}{L^4} \quad par = 5.39784$$

$$s := 190$$

$$\phi := \sqrt[4]{par \cdot s} \quad \phi = 5.65905$$

$$s := 150$$

$$\phi := \sqrt[4]{par \cdot s} \quad \phi = 5.3343$$

$$s := 50$$

$$\phi := \sqrt[4]{par \cdot s} \quad \phi = 4.05319$$

Para o vão entre estribos suplementares - $\gamma=1,2$

$$b := 338 \quad a := 46$$

$$par := \frac{192 \cdot \eta l \cdot \phi^4 \cdot [a^3 \cdot (2 \cdot b - 3 \cdot a)]}{6 \cdot b \cdot L^4} \quad par = 6.06705$$

$$s := 190$$

$$\phi := \sqrt[4]{par \cdot s} \quad \phi = 5.82684$$

$$s := 150$$

$$\phi := \sqrt[4]{par \cdot s} \quad \phi = 5.49246$$

$$s := 50$$

$$\phi := \sqrt[4]{par \cdot s} \quad \phi = 4.17337$$

Para o diâmetro dos estribos, $\phi_t=6,3$ mm tem-se o seguinte espaçamento

$$\phi := 6.3$$

$$s := \frac{\phi^4}{par} \quad s = 259.64793$$

$$\phi := 5$$

$$s := \frac{\phi^4}{par} \quad s = 103.01553$$

Utilizando-se uma rigidez efetiva no lugar e chamando K a rigidez considerando-se os estribos suplementares e Kses a rigidez sem estribos suplementares tem-se que a rigidez média fica

$$\gamma=1,2 \quad b := 341.3 \quad a := 46 \quad bl := 1014$$

$$par := \frac{192 \cdot \eta l \cdot \phi^4}{\left[\frac{3 \cdot b}{a^3 \cdot (2 \cdot b - 3 \cdot a)} + \frac{27 \cdot bl}{(bl^4 + 3 \cdot bl^3 \cdot a - 9 \cdot a^2 \cdot bl^2 + 18 \cdot a^3 \cdot bl - 81 \cdot a^4)} \right] \cdot L^4}$$

$$par = 12.1499$$

$$s := 190$$

$$\phi_t := \sqrt[4]{par \cdot s} \quad \phi_t = 6.93157$$

$$s := 150$$

$$\phi_t := \sqrt[4]{par \cdot s} \quad \phi_t = 6.5338$$

$$s := 50$$

$$\phi_t := \sqrt[4]{par \cdot s} \quad \phi_t = 4.96462$$

Para o diâmetro dos estribos, $\phi_t=6,3$ mm tem-se o seguinte espaçamento

$$\phi_t := 6.3$$

$$s := \frac{\phi_t^4}{par} \quad s = 129.65507$$

$$\phi_t := 5$$

$$s := \frac{\phi_t^4}{par} \quad s = 51.44076$$

Para o valor de $\gamma=1,0$

$$b := 338 \quad a := 46 \quad \eta l := 2193.29$$

$$par := \frac{192 \cdot \eta l \cdot \phi_t^4 \cdot [a^3 \cdot (2 \cdot b - 3 \cdot a)]}{6 \cdot b \cdot L^4} \quad par = 4.7489$$

$$s := 190$$

$$\phi_t := \sqrt[4]{par \cdot s} \quad \phi_t = 5.48071$$

$$s := 150$$

$$\phi_t := \sqrt[4]{par \cdot s} \quad \phi_t = 5.1662$$

$$s := 50$$

$$\phi_t := \sqrt[4]{par \cdot s} \quad \phi_t = 3.92546$$

Para o diâmetro dos estribos, $\phi_t=6,3$ mm tem-se o seguinte espaçamento

$$\phi_t := 6.3 \quad s := \frac{\phi_t^4}{par}$$

$$s = 331.71823$$

$$\phi := 5$$

$$s := \frac{\phi^4}{par} \quad s = 131.60948$$

Considerando-se a rigidez média da base elástica $b1 := 101^4$

$$par := \frac{192 \cdot \eta l \cdot \phi^4}{\left[\frac{3 \cdot b}{a^3 \cdot (2 \cdot b - 3 \cdot a)} + \frac{27 \cdot b1}{(b1^4 + 3 \cdot b1^3 \cdot a - 9 \cdot a^2 \cdot b1^2 + 18 \cdot a^3 \cdot b1 - 81 \cdot a^4)} \right] \cdot L^4}$$

$$par = 9.48646$$

$$s := 190$$

$$\phi := \sqrt[4]{par \cdot s} \quad \phi = 6.51575$$

$$s := 150$$

$$\phi := \sqrt[4]{par \cdot s} \quad \phi = 6.14184$$

$$s := 50$$

$$\phi := \sqrt[4]{par \cdot s} \quad \phi = 4.66679$$

Para o diâmetro dos estribos, $\phi_t = 6,3$ mm tem-se o seguinte espaçamento

$$\phi := 6.3$$

$$s := \frac{\phi^4}{par} \quad s = 166.05736$$

$$\phi := 5$$

$$s := \frac{\phi^4}{par} \quad s = 65.88339$$

8.4.

Cálculo da Flexibilidade dos Estribos para o Cálculo da Rigidez (K)

Cálculo analítico da flexibilidade de uma viga fixa nas extremidades. Os resultados das flexibilidades são divididos pela rigidez a flexão EI . A rigidez K foi calculada utilizando-se a expressão $F=Kx_d$. Estes valores foram utilizados no Capítulo 5.

a) Uma barra localizada no meio do vão como no exemplo de Queiroga (1999) e o Caso 4

```
> restart:with(linalg):
```

```
> M1:=P/2*x-Ma:
```

```
> M2:=M1-P*(x-a):
```

```
> eq1:=int(-M1,x)+C1:eq2:=int(eq1,x)+C2:
```

```
> eq3:=int(-M2,x)+C3:eq4:=int(eq3,x)+C4:
```

Condições de contorno

```
> subs(x=0,eq2):
```

Logo $C_2=0$

```
> C2:=0:
```

```
> subs(x=0,eq1):
```

Logo $C_1=0$

```
> C1:=0:
```

em $x=a$

```
> C3:=solve(subs(x=a,eq3-eq1),C3):
```

```
> C4:=solve(subs(x=a,eq4-eq2),C4):
```

Em $x=a+b$ $V=0$ $V'=0$

```
> Ma:=solve(subs(x=2*a,eq4), Ma):
```

```
> va:=subs(x=a,eq2):v2a:=evalf(expand(subs(x=2*a,eq4))):
```

$$v2a := 0.$$

```
> va1:=subs([a=b/2,b=b/2],va):
```

$$val := \frac{1}{192} P b^3$$
b) Viga fixa nas extremidades com três cargas concentradas como no caso 7

```
> restart:with(linalg):
```

```
> M1:=3*P/2*x-Ma:
```

```
> M2:=M1-P*(x-a):
```

- > **M3:=M2-P*(x-2*a):**
- > **M4:=M3-P*(x-3*a):**
- > **eq1:=int(-M1,x)+C1: eq2:=int(eq1,x)+C2:**
- > **eq3:=int(-M2,x)+C3: eq4:=int(eq3,x)+C4:**
- > **eq5:=int(-M3,x)+C5: eq6:=int(eq5,x)+C6:**
- > **eq7:=int(-M4,x)+C7: eq8:=int(eq7,x)+C8:**

Condições de contorno

- > **subs(x=0,eq2):**

Logo $C2=0$

- > **C2:=0:**

- > **subs(x=0,eq1):**

Logo $C1=0$

- > **C1:=0:**

em $x=a$

- > **C3:=solve(subs(x=a,eq3-eq1),C3):**

- > **C4:=solve(subs(x=a,eq4-eq2),C4):**

Em $x=2a$

- > **C5:=solve(subs(x=2*a,eq5-eq3),C5):**

- > **C6:=solve(subs(x=2*a,eq6-eq4),C6):**

Em $x=3a$

- > **C7:=solve(subs(x=3*a,eq7-eq5),C7):**

- > **C8:=solve(subs(x=3*a,eq8-eq6),C8):**

Em $x=4*a$ $V=0$ $V'=0$

- > **Ma:=solve(subs(x=4*a,eq8), Ma):**

>

>

- va:=subs(x=a,eq2); v2a:=subs(x=2*a,eq4); v3a:=subs(x=3*a,eq6); v4a:=subs(x=4*a,eq8);**

$$va := \frac{3}{8} P a^3$$

$$v2a := \frac{2}{3} P a^3$$

$$v3a := \frac{3}{8} P a^3$$

$$v4a := 0$$

- > **v:=subs(a=b/4,v2a);**

$$v := \frac{1}{96} P b^3$$

c) Viga fixa nas extremidades com três cargas concentradas como no caso 2

- > **restart:**

- > **M1:=2*P*x-Ma:**
- > **M2:=M1-P*(x-a):**
- > **M3:=M2-P*(x-2*a):**
- > **M4:=M3-P*(x-3*a):**
- > **M5:=M4-P*(x-4*a):**
- > **eq1:=int(-M1,x)+C1:eq2:=int(eq1,x)+C2:**
- > **eq3:=int(-M2,x)+C3:eq4:=int(eq3,x)+C4:**
- > **eq5:=int(-M3,x)+C5:eq6:=int(eq5,x)+C6:**
- > **eq7:=int(-M4,x)+C7:eq8:=int(eq7,x)+C8:**
- > **eq9:=int(-M5,x)+C9:eq10:=int(eq9,x)+C10:**

Condições de contorno

- > **subs(x=0,eq2):**

Logo C2=0

- > **C2:=0:**
- > **subs(x=0,eq1):**

Logo C1=0

- > **C1:=0:**

em x=a

- > **C3:=solve(subs(x=a,eq3-eq1),C3):**
- > **C4:=solve(subs(x=a,eq4-eq2),C4):**

Em x=2a

- > **C5:=solve(subs(x=2*a,eq5-eq3),C5):**
- > **C6:=solve(subs(x=2*a,eq6-eq4),C6):**

Em x=3a

- > **C7:=solve(subs(x=3*a,eq7-eq5),C7):**
- > **C8:=solve(subs(x=3*a,eq8-eq6),C8):**

Em x=4a

- > **C9:=solve(subs(x=4*a,eq9-eq7),C9):**
- > **C10:=solve(subs(x=4*a,eq10-eq8),C10):**

Em x=5a

- > **Ma:=solve(subs(x=5*a,eq10), Ma):**

va:=subs(x=a,eq2);v2a:=subs(x=2*a,eq4);v3a:=subs(x=3*a,eq6);v4a:=subs(x=4*a,eq8);v5a:=subs(x=5*a,eq10);

$$va := \frac{2}{3} P a^3$$

$$v2a := \frac{3}{2} P a^3$$

$$v3a := \frac{3}{2} P a^3$$

$$v4a := \frac{2}{3} P a^3$$

$$v5a := 0$$

> **v:=subs(a=b/5,v2a);**

$$v := \frac{3}{250} P b^3$$

d) Viga fixa nas extremidades com nove cargas concentradas como no caso 1

> **restart:**

> **M1:=9*P*x/2-Ma:**

> **M2:=M1-P*(x-a):**

> **M3:=M2-P*(x-2*a):**

> **M4:=M3-P*(x-3*a):**

> **M5:=M4-P*(x-4*a):**

> **M6:=M5-P*(x-5*a):**

> **M7:=M6-P*(x-6*a):**

> **M8:=M7-P*(x-7*a):**

> **M9:=M8-P*(x-8*a):**

> **M10:=M9-P*(x-9*a):**

> **eq1:=int(-M1,x)+C1:eq2:=int(eq1,x)+C2:**

> **eq3:=int(-M2,x)+C3:eq4:=int(eq3,x)+C4:**

> **eq5:=int(-M3,x)+C5:eq6:=int(eq5,x)+C6:**

> **eq7:=int(-M4,x)+C7:eq8:=int(eq7,x)+C8:**

> **eq9:=int(-M5,x)+C9:eq10:=int(eq9,x)+C10:**

> **eq11:=int(-M6,x)+C11:eq12:=int(eq11,x)+C12:**

> **eq13:=int(-M7,x)+C13:eq14:=int(eq13,x)+C14:**

> **eq15:=int(-M8,x)+C15:eq16:=int(eq15,x)+C16:**

> **eq17:=int(-M9,x)+C17:eq18:=int(eq17,x)+C18:**

> **eq19:=int(-M10,x)+C19:eq20:=int(eq19,x)+C20:**

Condições de contorno

> **subs(x=0,eq2):**

Logo C2=0

> **C2:=0:**

> **subs(x=0,eq1):**

Logo C1=0

> **C1:=0:**

em x=a

> **C3:=solve(subs(x=a,eq3-eq1),C3):**

> **C4:=solve(subs(x=a,eq4-eq2),C4):**

Em x=2a

> **C5:=solve(subs(x=2*a,eq5-eq3),C5):**

> **C6:=solve(subs(x=2*a,eq6-eq4),C6):**

Em $x=3a$

> **C7:=solve(subs(x=3*a,eq7-eq5),C7):**

> **C8:=solve(subs(x=3*a,eq8-eq6),C8):**

Em $x=4a$

> **C9:=solve(subs(x=4*a,eq9-eq7),C9):**

> **C10:=solve(subs(x=4*a,eq10-eq8),C10):**

Em $x=5a$

> **C11:=solve(subs(x=5*a,eq11-eq9),C11):**

> **C12:=solve(subs(x=5*a,eq12-eq10),C12):**

Em $x=6a$

> **C13:=solve(subs(x=6*a,eq13-eq11),C13):**

> **C14:=solve(subs(x=6*a,eq14-eq12),C14):**

Em $x=7a$

> **C15:=solve(subs(x=7*a,eq15-eq13),C15):**

> **C16:=solve(subs(x=7*a,eq16-eq14),C16):**

Em $x=8a$

> **C17:=solve(subs(x=8*a,eq17-eq15),C17):**

> **C18:=solve(subs(x=8*a,eq18-eq16),C18):**

Em $x=9a$

> **C19:=solve(subs(x=9*a,eq19-eq17),C19):**

> **C20:=solve(subs(x=9*a,eq20-eq18),C20):**

Em $x=10*a$ $V=0$ $V'=0$

> **Ma:=solve(subs(x=10*a,eq20), Ma):**

va:=subs(x=a,eq2);v2a:=subs(x=2*a,eq4);v3a:=subs(x=3*a,eq6);v4a:=subs(x=4*a,eq8);v5a:=subs(x=5*a,eq10);v6a:=subs(x=6*a,eq12);v7a:=subs(x=7*a,eq14);v8a:=subs(x=8*a,eq16);v9a:=subs(x=9*a,eq18);v10a:=subs(x=10*a,eq20);

$$va := \frac{27}{8} P a^3$$

$$v2a := \frac{32}{3} P a^3$$

$$v3a := \frac{147}{8} P a^3$$

$$v4a := 24 P a^3$$

$$v5a := \frac{625}{24} P a^3$$

$$v6a := 24 P a^3$$

$$v7a := \frac{147}{8} P a^3$$

$$v8a := \frac{32}{3} P a^3$$

$$v9a := \frac{27}{8} P a^3$$

$$v10a := 0$$

> **v:=subs(a=b/10,v5a);**

$$v := \frac{5}{192} P b^3$$

e) Viga fixa nas extremidades com duas cargas no vão como no caso 3

> **restart:**

> **M1:=P*x-Ma:**

> **M2:=M1-P*(x-a):**

> **M3:=M2-P*(x-2*a):**

> **eq1:=int(-M1,x)+C1: eq2:=int(eq1,x)+C2:**

> **eq3:=int(-M2,x)+C3: eq4:=int(eq3,x)+C4:**

> **eq5:=int(-M3,x)+C5: eq6:=int(eq5,x)+C6:**

Condições de contorno

> **subs(x=0,eq2):**

Logo C2=0

> **C2:=0:**

> **subs(x=0,eq1):**

Logo C1=0

> **C1:=0:**

em x=a

> **C3:=solve(subs(x=a,eq3-eq1),C3):**

> **C4:=solve(subs(x=a,eq4-eq2),C4):**

Em x=2a

> **C5:=solve(subs(x=2*a,eq5-eq3),C5):**

> **C6:=solve(subs(x=2*a,eq6-eq4),C6):**

> **Ma:=solve(subs(x=3*a,eq6), Ma):**

> **va:=subs(x=a,eq2); v2a:=subs(x=2*a,eq4); v3a:=subs(x=3*a,eq6);**

$$va := \frac{1}{6} P a^3$$

$$v2a := \frac{1}{6} P a^3$$

$$v3a := 0$$

> **subs(a=b/3,va);**

$$\frac{1}{162} P b^3$$

f) Viga fixa nas extremidades com quatro cargas no vão

> **restart: with(linalg):**

- > **M1:=2*P*x-Ma:**
- > **M2:=M1-P*(x-a):**
- > **M3:=M2-P*(x-2*a):**
- > **M4:=M3-P*(x-3*a):**
- > **M5:=M4-P*(x-4*a):**
- > **eq1:=int(-M1,x)+C1:eq2:=int(eq1,x)+C2:**
- > **eq3:=int(-M2,x)+C3:eq4:=int(eq3,x)+C4:**
- > **eq5:=int(-M3,x)+C5:eq6:=int(eq5,x)+C6:**
- > **eq7:=int(-M4,x)+C7:eq8:=int(eq7,x)+C8:**
- > **eq9:=int(-M5,x)+C9:eq10:=int(eq9,x)+C10:**

Condições de contorno

- > **subs(x=0,eq2):**

Logo C2=0

- > **C2:=0:**
- > **subs(x=0,eq1):**

Logo C1=0

- > **C1:=0:**

em x=a

- > **C3:=solve(subs(x=a,eq3-eq1),C3):**
- > **C4:=solve(subs(x=a,eq4-eq2),C4):**
- > **C5:=solve(subs(x=2*a,eq5-eq3),C5):**
- > **C6:=solve(subs(x=2*a,eq6-eq4),C6):**
- > **C7:=solve(subs(x=3*a,eq7-eq5),C7):**
- > **C8:=solve(subs(x=3*a,eq8-eq6),C8):**

- > **C9:=solve(subs(x=4*a,eq9-eq7),C9):**
- > **C10:=solve(subs(x=4*a,eq10-eq8),C10):**
- > **Ma:=solve(subs(x=5*a,eq10), Ma):**

va:=subs(x=a,eq2);v2a:=subs(x=2*a,eq4);v3a:=subs(x=3*a,eq6);v4a:=subs(x=4*a,eq8);v5a:=subs(x=5*a,eq10);

$$va := \frac{2}{3} P a^3$$

$$v2a := \frac{3}{2} P a^3$$

$$v3a := \frac{3}{2} P a^3$$

$$v4a := \frac{2}{3} P a^3$$

$$v5a := 0$$

g) Viga fixa nas extremidades com cinco cargas no vão

> restart:

> M1:=5/2*P*x-Ma:

> M2:=M1-P*(x-a):

> M3:=M2-P*(x-2*a):

> M4:=M3-P*(x-3*a):

> M5:=M4-P*(x-4*a):

> M6:=M5-P*(x-5*a):

> eq1:=int(-M1,x)+C1: eq2:=int(eq1,x)+C2:

> eq3:=int(-M2,x)+C3: eq4:=int(eq3,x)+C4:

> eq5:=int(-M3,x)+C5: eq6:=int(eq5,x)+C6:

> eq7:=int(-M4,x)+C7: eq8:=int(eq7,x)+C8:

> eq9:=int(-M5,x)+C9: eq10:=int(eq9,x)+C10:

> eq11:=int(-M6,x)+C11: eq12:=int(eq11,x)+C12:

Condições de contorno

> subs(x=0,eq2):

Logo C2=0

> C2:=0:

> subs(x=0,eq1):

Logo C1=0

> C1:=0:

em x=a

> C3:=solve(subs(x=a,eq3-eq1),C3):

> C4:=solve(subs(x=a,eq4-eq2),C4):

Em x=2a

> C5:=solve(subs(x=2*a,eq5-eq3),C5):

> C6:=solve(subs(x=2*a,eq6-eq4),C6):

Em x=3a

> C7:=solve(subs(x=3*a,eq7-eq5),C7):

> C8:=solve(subs(x=3*a,eq8-eq6),C8):

Em x=4a

> C9:=solve(subs(x=4*a,eq9-eq7),C9):

> C10:=solve(subs(x=4*a,eq10-eq8),C10):

Em x=5a

> C11:=solve(subs(x=5*a,eq11-eq9),C11):

> C12:=solve(subs(x=5*a,eq12-eq10),C12):

Em x=6*a V=0 V'=0

> Ma:=solve(subs(x=6*a,eq12), Ma):

va:=subs(x=a,eq2);v2a:=subs(x=2*a,eq4);v3a:=subs(x=3*a,eq6);v4a:=subs(x=4*a,eq8);v5a:=subs(x=5*a,eq10);v6a:=subs(x=6*a,eq12);

$$va := \frac{25}{24} P a^3$$

$$v2a := \frac{8}{3} P a^3$$

$$v3a := \frac{27}{8} P a^3$$

$$v4a := \frac{8}{3} P a^3$$

$$v5a := \frac{25}{24} P a^3$$

$$v6a := 0$$

h) Viga Fixa nas extremidades com uma carga em qualquer posição

> **restart:**

> **Ma:=P*alpha*beta^2/(b)^2:**

> **Mb:=-P*alpha^2*beta/(b)^2:**

Reações

> **Vb:=simplify((-Ma-Mb+P*alpha)/(b)):**

> **Va:=P-Vb:**

Contribuição da Primeira Carga

x<alpha

> **M1:=subs([alpha=a,beta=b-a],Va*x-Ma):**

x>alpha

> **M2:=M1-P*(x-a):**

> **eq1A:=int(-M1,x)+C1:eq2A:=int(eq1A,x)+C2:**

> **eq3A:=int(-M2,x)+C3:eq4A:=int(eq3A,x)+C4:**

Condições de contorno

> **subs(x=0,eq2A):**

Logo C2=0

> **C2:=0:**

> **subs(x=0,eq1A):**

Logo C1=0

> **C1:=0:**

Em x=a

> **C3:=solve(subs(x=a,eq3A-eq1A),C3):**

> **C4:=solve(subs(x=a,eq4A-eq2A),C4):**

> **va:=subs(x=a,eq2A);v2a:=subs(x=b-a,eq4A);**

>

$$va := -\frac{\left(P - \frac{Pa(-(b-a)^2 + a(b-a) + b^2)}{b^3}\right)a^3}{6} + \frac{Pa^3(b-a)^2}{2b^2}$$

$$v2a := -\frac{\left(P - \frac{Pa(-(b-a)^2 + a(b-a) + b^2)}{b^3}\right)(b-a)^3}{6} + \frac{Pa(b-a)^4}{2b^2} + P\left(\frac{(b-a)^3}{6} - \frac{a(b-a)^2}{2}\right)$$

$$+ \frac{Pa^2(b-a)}{2} - \frac{Pa^3}{6}$$

Teste para b/2

> v1:= subs(a=b/2,v2a);

$$v1 := \frac{Pb^3}{192}$$

i) Viga Fixa nas extremidades com duas cargas como no caso 8

> restart:

> Ma:=P*alpha*beta^2/(b)^2:

> Mb:=-P*alpha^2*beta/(b)^2:

Reações

> Vb:=simplify((-Ma-Mb+P*alpha)/(b)):

> Va:=P-Vb:

Contribuição da Primeira Carga

x<alpha

> M1:=subs([alpha=a,beta=b-a],Va*x-Ma):

x>alpha

> M2:=M1-P*(x-a):

> eq1A:=int(-M1,x)+C1:eq2A:=int(eq1A,x)+C2:

> eq3A:=int(-M2,x)+C3:eq4A:=int(eq3A,x)+C4:

Condições de contorno

> subs(x=0,eq2A):

Logo C2=0

> C2:=0:

> subs(x=0,eq1A):

Logo C1=0

> C1:=0:

eq3=eq1 em x=a

> C3:=solve(subs(x=a,eq3A-eq1A),C3):

> C4:=solve(subs(x=a,eq4A-eq2A),C4):

> va:=subs(x=a,eq2A):v2a:=evalf(expand(subs(x=b-a,eq4A))):

> subs(a=b/2,va):

Contribuição da segunda carga

- > **M3:=subs([alpha=b-a,beta=a],Va*x-Ma):**
- > **M4:=M3-P*(x-b+a):**
- > **eq1B:=int(-M3,x)+C5: eq2B:=int(eq1B,x)+C6:**
- > **eq3B:=int(-M4,x)+C7: eq4B:=int(eq3B,x)+C8:**

Condições de contorno

- > **subs(x=0,eq2B):**

Logo C6=0

- > **C6:=0:**
- > **subs(x=0,eq1B):**

Logo C1=0

- > **C5:=0:**

Em x=2a

- > **C7:=solve(subs(x=b-a,eq3B-eq1B),C7):**
- > **C8:=solve(subs(x=b-a,eq4B-eq2B),C8):**
- > **va:=subs(x=a,eq2B): v2a:=evalf(expand(subs(x=b-a,eq4A))):**

Deslocamentos

- > **y1:=simplify(subs(x=a,eq2A)+subs(x=a,eq2B));**

$$y1 := \frac{P a^3 (2 b - 3 a)}{6 b}$$

- > **y2:=simplify(subs(x=b-a,eq4A)+subs(x=b-a,eq2B));**

$$y2 := \frac{P a^3 (2 b - 3 a)}{6 b}$$

j) Viga Fixa nas extremidades com três cargas fixas em qualquer posição

- > **restart:**
- > **Ma:=P*alpha*beta^2/(b)^2:**
- > **Mb:=-P*alpha^2*beta/(b)^2:**

Reações

- > **Vb:=simplify((-Ma-Mb+P*alpha)/(b)):**
- > **Va:=P-Vb:**

Contribuição da Primeira Carga

x<alpha

- > **M1:=subs([alpha=a,beta=b-a],Va*x-Ma):**

x>alpha

- > **M2:=M1-P*(x-a):**
- > **eq1A:=int(-M1,x)+C1: eq2A:=int(eq1A,x)+C2:**
- > **eq3A:=int(-M2,x)+C3: eq4A:=int(eq3A,x)+C4:**

Condições de contorno

- > **subs(x=0,eq2A):**

Logo C2=0


```

> C2:=0:
> subs(x=0,eq1A):
Logo C1=0
> C1:=0:
Em x=a
> C3:=solve(subs(x=a,eq3A-eq1A),C3):
> C4:=solve(subs(x=a,eq4A-eq2A),C4):
> va:=subs(x=a,eq2A):v2a:=evalf(expand(subs(x=b-a,eq4A))):
> subs(a=b/2,va):
Contribuição da segunda carga
> M3:=subs([alpha=2*a,beta=b-2*a],Va*x-Ma):
x>alpha
> M4:=M3-P*(x-2*a):
> eq1B:=int(-M3,x)+C5:eq2B:=int(eq1B,x)+C6:
> eq3B:=int(-M4,x)+C7:eq4B:=int(eq3B,x)+C8:
Condições de contorno
> subs(x=0,eq2B):
Logo C6=0
> C6:=0:
> subs(x=0,eq1B):
Logo C1=0
> C5:=0:
em x=2a
> C7:=solve(subs(x=2*a,eq3B-eq1B),C7):
> C8:=solve(subs(x=2*a,eq4B-eq2B),C8):
> va:=subs(x=2*a,eq2B):v2a:=evalf(expand(subs(x=b,eq4A))):
Contribuição da terceira carga
> M5:=subs([alpha=3*a,beta=b-3*a],Va*x-Ma):
> M6:=M5-P*(x-3*a):
> eq1C:=int(-M5,x)+C9:eq2C:=int(eq1C,x)+C10:
> eq3C:=int(-M6,x)+C11:eq4C:=int(eq3C,x)+C12:
Condições de contorno
> subs(x=0,eq2C):
Logo C6=0
> C10:=0:
> subs(x=0,eq1C):
Logo C9=0
> C9:=0:
Em x=3a
> C11:=solve(subs(x=3*a,eq3C-eq1C),C11):

```

> **C12:=solve(subs(x=3*a,eq4C-eq2C),C12):**

> **va:=subs(x=3*a,eq2C):v2a:=evalf(expand(subs(x=b,eq4C))):**

k) Viga fixa nas extremidades com quatro cargas concentradas como apresenta o modelo 5

> **restart:**

> **Ma:=P*alpha*beta^2/b^2:**

> **Mb:=-P*alpha^2*beta/b^2:**

Reações

> **Vb:=simplify((-Ma-Mb+P*alpha)/b):**

> **Va:=P-Vb:**

x<alpha

> **M1:=subs([alpha=a,beta=b-a],Va*x-Ma):**

x>alpha

> **M2:=M1-P*(x-a):**

> **eq1A:=int(-M1,x)+C1:eq2A:=int(eq1A,x)+C2:**

> **eq3A:=int(-M2,x)+C3:eq4A:=int(eq3A,x)+C4:**

Condições de contorno

> **subs(x=0,eq2A):**

Logo C2=0

> **C2:=0:**

> **subs(x=0,eq1A):**

Logo C1=0

> **C1:=0:**

Em x=a

> **C3:=solve(subs(x=a,eq3A-eq1A),C3):**

> **C4:=solve(subs(x=a,eq4A-eq2A),C4):**

> **va:=subs(x=a,eq2A):v2a:=evalf(expand(subs(x=b,eq4A))):**

> **subs(a=b/2,va):**

Contribuição da segunda carga

> **M3:=subs([alpha=2*a,beta=b-2*a],Va*x-Ma):**

> **M4:=M3-P*(x-2*a):**

> **eq1B:=int(-M3,x)+C5:eq2B:=int(eq1B,x)+C6:**

> **eq3B:=int(-M4,x)+C7:eq4B:=int(eq3B,x)+C8:**

Condições de contorno

> **subs(x=0,eq2B):**

Logo C6=0

> **C6:=0:**

> **subs(x=0,eq1B):**

Logo C1=0

> **C5:=0:**

Em $x=2a$

```
> C7:=solve(subs(x=2*a,eq3B-eq1B),C7):
> C8:=solve(subs(x=2*a,eq4B-eq2B),C8):
> va:=subs(x=2*a,eq2B):v2a:=evalf(expand(subs(x=b,eq4A))):
> subs(a=b/4,va):
```

Contribuição da terceira carga

```
> M5:=subs([alpha=3*a,beta=b-3*a],Va*x-Ma):
> M6:=M5-P*(x-3*a):
> eq1C:=int(-M5,x)+C9:eq2C:=int(eq1C,x)+C10:
> eq3C:=int(-M6,x)+C11:eq4C:=int(eq3C,x)+C12:
```

Condições de contorno

```
> subs(x=0,eq2C):
```

Logo $C6=0$

```
> C10:=0:
> subs(x=0,eq1C):
```

Logo $C9=0$

```
> C9:=0:
```

Em $x=3a$

```
> C11:=solve(subs(x=3*a,eq3C-eq1C),C11):
> C12:=solve(subs(x=3*a,eq4C-eq2C),C12):
> va:=subs(x=3*a,eq2C):v2a:=evalf(expand(subs(x=b,eq4C))):
> subs(a=b/6,va):
```

Contribuição da quarta carga

```
> M7:=subs([alpha=4*a,beta=b-4*a],Va*x-Ma):
> M8:=M6-P*(x-4*a):
> eq1D:=int(-M7,x)+C13:eq2D:=int(eq1D,x)+C14:
> eq3D:=int(-M8,x)+C15:eq4D:=int(eq3D,x)+C16:
```

Condições de contorno

```
> subs(x=0,eq2D):
```

Logo $C14=0$

```
> C14:=0:
> subs(x=0,eq1D):
```

Logo $C13=0$

```
> C13:=0:
```

Em $x=3a$

```
> C15:=solve(subs(x=4*a,eq3D-eq1D),C15):
> C16:=solve(subs(x=4*a,eq4D-eq2D),C16):
> va:=subs(x=4*a,eq2D):v2a:=evalf(expand(subs(x=b,eq4D))):
```

l) Cálculo dos deslocamentos para uma viga fixa nas extremidades com oito cargas para cálculo da menor rigidez para o caso sem estribos suplementares

> restart:

> Ma:=P*alpha*beta^2/b^2:

> Mb:=-P*alpha^2*beta/b^2:

Reações

> Vb:=simplify((-Ma-Mb+P*alpha)/b):

> Va:=P-Vb:

> Ma1:=subs([alpha=a,beta=b-a],Ma):Ma2:=subs([alpha=b/3-a,beta=2*b/3+a],Ma):Ma3:=subs([alpha=b/3,beta=2*b/3],Ma):Ma4:=subs([alpha=b/3+a,beta=2*b/3-a],Ma):Ma5:=subs([alpha=2*b/3-a,beta=b/3+a],Ma):Ma6:=subs([alpha=2*b/3,beta=b/3],Ma):Ma7:=subs([alpha=2*b/3+a,beta=b/3-a],Ma):Ma8:=subs([alpha=b-a,beta=a],Ma):

> Mb1:=subs([alpha=a,beta=b-a],Mb):Mb2:=subs([alpha=b/3-a,beta=2*b/3+a],Mb):Mb3:=subs([alpha=b/3,beta=2*b/3],Mb):Mb4:=subs([alpha=b/3+a,beta=2*b/3-a],Mb):Mb5:=subs([alpha=2*b/3-a,beta=b/3+a],Mb):Mb6:=subs([alpha=2*b/3,beta=b/3],Mb):Mb7:=subs([alpha=2*b/3+a,beta=b/3-a],Mb):Mb8:=subs([alpha=b-a,beta=a],Mb):

> Vb1:=simplify((-Ma1-Mb1+P*a)/b):

> Va1:=P-Vb1:

> Vb2:=simplify((-Ma2-Mb2+P*(b/3-a))/b):

> Va2:=P-Vb2:

> Vb3:=simplify((-Ma3-Mb3+P*b/3)/b):

> Va3:=P-Vb3:

> Vb4:=simplify((-Ma4-Mb4+P*(b/3+a))/b):

> Va4:=P-Vb4:

> Vb5:=simplify((-Ma5-Mb5+P*(2*b/3-a))/b):

> Va5:=P-Vb5:

> Vb6:=simplify((-Ma6-Mb6+P*(2*b/3))/b):

> Va6:=P-Vb6:

> Vb7:=simplify((-Ma7-Mb7+P*(2*b/3+a))/b):

> Va7:=P-Vb7:

> Vb8:=simplify((-Ma8-Mb8+P*(b-a))/b):

> Va8:=P-Vb8:

> Va:=simplify(Va1+Va2+Va3+Va4+Va5+Va6+Va7+Va8):

> Vb:=simplify(Vb1+Vb2+Vb3+Vb4+Vb5+Vb6+Vb7+Vb8):

> Ma:='Ma':

> M1:=4*P*x-Ma:

> M2:=M1-P*(x-a):

> M3:=M2-P*(x-b/3+a):

> M4:=M3-P*(x-b/3):

> M5:=M4-P*(x-b/3-a):

> **M6:=M5-P*(x-2*b/3+a):**
 > **M7:=M6-P*(x-2*b/3):**
 > **M8:=M7-P*(x-2*b/3-a):**
 > **M9:=M8-P*(x-b+a):**
 > **eq1:=int(-M1,x)+C1:eq2:=int(eq1,x)+C2:**
 > **eq3:=int(-M2,x)+C3:eq4:=int(eq3,x)+C4:**
 > **eq5:=int(-M3,x)+C5:eq6:=int(eq5,x)+C6:**
 > **eq7:=int(-M4,x)+C7:eq8:=int(eq7,x)+C8:**
 > **eq9:=int(-M5,x)+C9:eq10:=int(eq9,x)+C10:**
 > **eq11:=int(-M6,x)+C11:eq12:=int(eq11,x)+C12:**
 > **eq13:=int(-M7,x)+C13:eq14:=int(eq13,x)+C14:**
 > **eq15:=int(-M8,x)+C15:eq16:=int(eq15,x)+C16:**
 > **eq17:=int(-M9,x)+C17:eq18:=int(eq17,x)+C18:**

Condições de contorno

> **subs(x=0,eq2):**

Logo $C2=0$

> **C2:=0:**

> **subs(x=0,eq1):**

Logo $C1=0$

> **C1:=0:**

Em $x=a$

> **C3:=solve(subs(x=a,eq3-eq1),C3):**

> **C4:=solve(subs(x=a,eq4-eq2),C4):**

Em $x=b/3-a$

> **C5:=solve(subs(x=b/3-a,eq5-eq3),C5):**

> **C6:=solve(subs(x=b/3-a,eq6-eq4),C6):**

Em $x=b/3$

> **C7:=solve(subs(x=b/3,eq7-eq5),C7):**

> **C8:=solve(subs(x=b/3,eq8-eq6),C8):**

Em $x=b/3+a$

> **C9:=solve(subs(x=b/3+a,eq9-eq7),C9):**

> **C10:=solve(subs(x=b/3+a,eq10-eq8),C10):**

Em $x=2*b/3-a$

> **C11:=solve(subs(x=2*b/3-a,eq11-eq9),C11):**

> **C12:=solve(subs(x=2*b/3-a,eq12-eq10),C12):**

Em $x=2*b/3$

> **C13:=solve(subs(x=2*b/3,eq11-eq13),C13):**

> **C14:=solve(subs(x=2*b/3,eq12-eq14),C14):**

> **C15:=solve(subs(x=2*b/3+a,eq15-eq13),C15):**

> **C16:=solve(subs(x=2*b/3+a,eq16-eq14),C16):**

> **C17:=solve(subs(x=b-a,eq15-eq17),C17):**

> **C18:=solve(subs(x=b-a,eq16-eq18),C18):**

Em $x=b$ $V=0$ $V'=0$

> **Ma:=solve(subs(x=b,eq18), Ma):**

> **va:=simplify(subs(x=a,eq2));v2a:=simplify(subs(x=b/3-a,eq4));v3a:=simplify(subs(x=b/3,eq6));v4a:=simplify(subs(x=b/3+a,eq8));v5a:=simplify(subs(x=2*b/3-a,eq10));v6:=simplify(subs(x=b,eq18));**

$$va := \frac{P a^2 (-b a + 2 b^2 - 9 a^2)}{6 b}$$

$$v2a := \frac{P (b^4 - 3 b^3 a - 9 a^2 b^2 + 45 a^3 b - 81 a^4)}{54 b}$$

$$v3a := \frac{P b^3}{54}$$

$$v4a := \frac{P (b^4 + 3 b^3 a - 9 a^2 b^2 + 18 a^3 b - 81 a^4)}{54 b}$$

$$v5a := \frac{P (b^4 + 3 b^3 a - 9 a^2 b^2 + 18 a^3 b - 81 a^4)}{54 b}$$

$$v6 := 0$$